

รายการอ้างอิง

- Alan Pugh, "**Robot Sensors Volume 2, Tactile and Non-Vision**" , IFS(Publications) Ltd. UK, 1986
- A. Kent Stiffler, "**Design with Microprocessors for Mechanical Engineers**", McGraw-Hill Book Company , 1992.
- C.C. Perry, H.R. Lissner, "**The Strain Gage Primer**", McGraw-Hill Book Company , 1962.
- Dechaumphai P., "**Finite Element Method in Engineering**", Chulalongkorn University, 1994.
- Ernest O. Doebelin, "**Measurement Systems: Application and Design**", McGraw-Hill Book Company , 1990.
- J. Michael Jacob, "**Industrial control electronics: Applications and Design**", Prentice-Hall Inc , 1988.
- John G. Bollinger, Neik A. Duffie, "**Computer Control of Machines and Process**", Addison-Wesley Publishing company , 1988.
- J.N. Reddy, "**An Introduction to The Finite Element Method**", McGraw-Hill Book Company , 1987
- K.S. Fu, R.C. Gonzalez, C.S.G. Lee, "**Control,Sensing,Vision, and Intelligence**", McGraw-Hill Book Company , 1987
- Kenneth H. Huebner, Earl A. Thornton, "**The Finite Element Method for Engineering**", 2nd edition , John Wiley and Sons, 1982
- Richard D. Klafter, Thomas A. Chmielewski, Michael Negin, "**Robotic Engineering: An integrated approach**", Prentice-Hall Inc , 1989.
- Schuler-McNamee, "**Modern Industrial Electronics**" , McGraw-Hill Book Company, 1993.

Stephen C. Gates, Jordan Becker, "**Laboratory Automation Using The IBM PC**",

Prentice-Hall Inc , 1989.

Wesley E. Snyder, "**Industrail Robots: Interfacing and Control**", Prentice-Hall Inc,

1985.

William J. Palm, "**Control Systems Engineerings**", John Wileys and Sons, 1982



ภาคผนวก ก

การตรวจวัดและออดสัญญาณรบกวน

ในปัจจุบันนี้จะมีขั้นตอนการวัดของเครื่องคอมพิวเตอร์มีรายการดัง ทำงานได้เร็วขึ้นและสามารถทำงานได้หลากหลายอย่าง แต่ข้อจำกัดในเรื่องประสิทธิภาพและความถูกต้องแม่นยำของการส่งผ่านข้อมูลเพื่อการสื่อสารและส่งข้อมูลเพื่อการควบคุมระบบซึ่งเป็นสิ่งสำคัญที่ต้องพิจารณา ข้อจำกัดในเรื่องประสิทธิภาพและความถูกต้องแม่นยำของอุปกรณ์มีสาเหตุสำคัญเกิดจากสิ่งที่เรียกว่า สัญญาณรบกวน (noise) ตัวอย่างเช่น เราไม่จำเป็นที่จะต้องใช้อุปกรณ์แปลงสัญญาณ 16 บิต ซึ่งมีความถูกต้อง 0.01 เมอร์เซนต์ กับเครื่องคอมพิวเตอร์ของเรา ถ้าระบบที่เราทำการวัดค่านั้นความต่างศักย์มีค่าของสัญญาณรบกวน ประมาณ 2-3 เมอร์เซนต์ ในสภาวะเช่นนี้ 12 บิต จะมีความหมายมากกว่า เพราะจะให้ค่าความถูกต้องที่ใกล้เคียงกันกับแบบ 16 บิต

สัญญาณรบกวน สามารถแสดงความหมายได้ว่าคือ สัญญาณใดๆที่ประกอบรวมเข้าไปกับสัญญาณที่เราสนใจที่จะวัด โดยทั่วไปแล้วสาเหตุหลักๆของการเกิด สัญญาณรบกวน ที่พบในห้องทดลอง มีด้วยกัน 3 สาเหตุด้วยกัน คือ interfering signal ,drift noise และ device noise

1. อินเตอร์เฟอร์ริง ไซกเนส (Interfering signal) จะเป็นการรวมกันของสัญญาณต่างๆที่เราไม่สนใจเข้ากัน สัญญาณที่เราต้องการวัด ตัวอย่างเช่น ห้องทดลองที่อยู่ติดกับลิฟท์บนสูง เมื่อลิฟท์ทำงานจะเกิด เกอเรนท์เซิร์จ (current surge) ขึ้นที่สายไฟฟ้า สามารถแม่เหล็กที่เกิดขึ้นจากเกอเรนท์เซิร์จ นี้จะเข้าไปในวงจรการทำงานของอุปกรณ์วัดทางอิเล็กทรอนิก ซึ่งทำให้การวัดโดยใช้เครื่องคอมพิวเตอร์ผิดพลาดไปจากที่ควรจะเป็นในขณะที่ลิฟท์กำลังทำงาน ตัวอย่างอื่นเช่น สายไฟฟ้าเข้ามาอเดอร์ต่างๆ สายไฟของหน้าจอแปลงไฟฟ้า ซึ่งจะมีผลกระทบกับการทดลองได้ทั้งสิ้น

2. คริฟท์น้อยส์ (Drift noise) เกิดขึ้นเนื่องจากเครื่องมือวัดและอุปกรณ์ทางอิเล็กทรอนิกขาด เสถียรภาพในการวัดเมื่อทำการวัดในช่วงเวลาที่นาน เช่น แอมป์ลิฟายเออร์ หน้าจอแปลงไฟฟ้า และอุปกรณ์อิเล็กทรอนิก สาเหตุสำคัญเกิดเมื่อจากการเปลี่ยนแปลงของอุณหภูมิและสภาพแวดล้อม

3. ดีไวซ์ น้อยส์ (Device noise) ส่วนใหญ่แล้วจะเกิดกับอุปกรณ์ทางอิเล็กทรอนิก มีสาเหตุเนื่องมาจาก การนำไฟฟ้าของตัวนำหรืออุปกรณ์ที่ใช้ การชนกันระหว่างอิเล็กตรอนกับอนุภาคอื่นๆ ในตัวนำ ทำให้เกิดการเปลี่ยนแปลงของความต่างศักย์ บางที่เรียกว่า สัญญาณรบกวนแบบนี้ว่า ช็อต น้อยส์(shot noise)ซึ่งการวิเคราะห์สัญญาณรบกวน แบบนี้สามารถทำได้โดยวิธีการทางสถิติศาสตร์

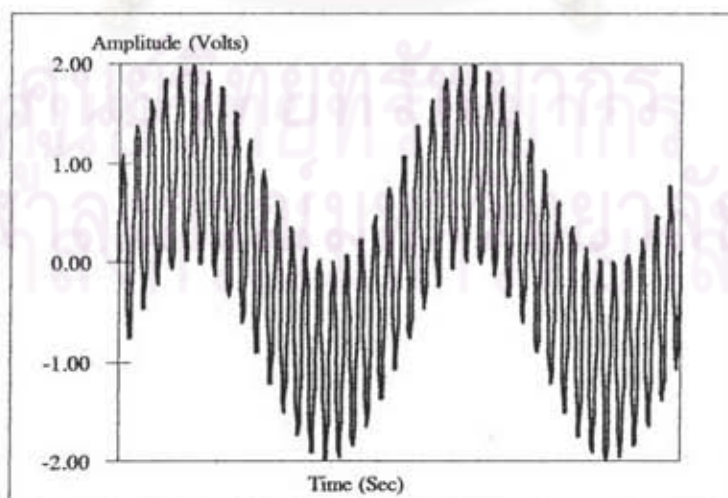
เพื่อต้องการความถูกต้องแม่นยำในการวัดค่า การตอบสนองทางความดี และประสิทธิภาพของการสื่อสารข้อมูล เราจำเป็นต้องทำความเข้าใจเกี่ยวกับนิคของสัญญาณรบกวน ที่เราต้องการกำจัดและหลังจากนั้นเรามาหารดใช้วิธีการทางๆแบบในการวัดขนาดหรือประมาณค่าระดับของสัญญาณรบกวน และเลือกใช้วิธีการที่เหมาะสมในการกำจัดต่อไป

การจำแนกชนิดของสัญญาณรบกวน

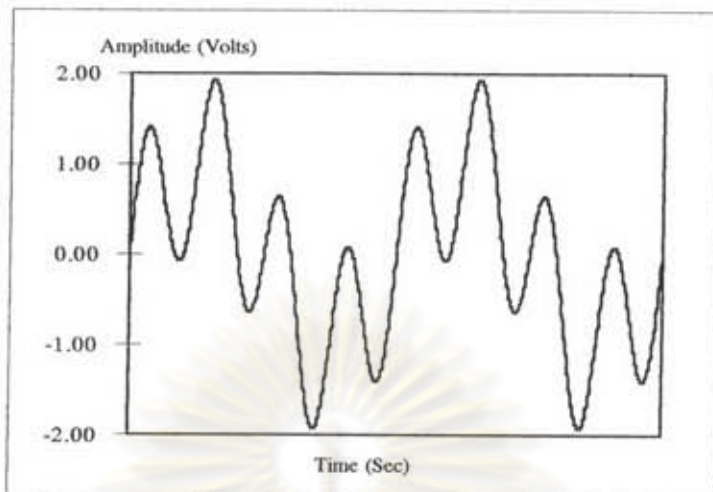
การจำแนกชนิดของสัญญาณรบกวน มีดัวแปรสองตัวที่ใช้ในการพิจารณาคือ แอมป์ลิจูด (amplitude) หรือพลังงานของสัญญาณรบกวน และการกระจายของความดี (frequency distribution) ขนาดของแอมป์ลิจูดนิยมวัดขนาดในหน่วยของโวลต์และความถี่นิยมวัดในหน่วยของไฮร์ต (Hertz, cycle/sec) โดยสัญญาณรบกวนและสัญญาณที่ทำการวัดต้องอยู่ในหน่วยเดียวกัน จากการพล็อตกราฟแสดงแอมป์ลิจูดและความถี่ของสัญญาณและสัญญาณรบกวนเราก็จะสามารถแยกเห็นความแตกต่างระหว่างสัญญาณรบกวนและสัญญาณที่เราสนใจได้

การวิเคราะห์ทางความดี (frequency domain analysis)

การวิเคราะห์โดยการเขียนกราฟระหว่างแอมป์ลิจูดและเวลาเราเรียกว่าการแสดงสัญญาณในรูป time domain representation จากรูปที่ ก.1 แสดงสัญญาณรูปไข่น (sine wave) ที่มีสัญญาณรบกวนความถี่สูงเป็นองค์ประกอบ ในกรณีนี้ความถี่ของสัญญาณทั้งสองแทรกต่างกันมากทำให้เราสามารถแยกสัญญาณทั้งสองได้ง่ายซึ่งขนาดของแอมป์ลิจูดของสัญญาณทั้งสองก็สามารถอ่านได้โดยตรงจากกราฟ ในรูปที่ ก.2 แสดงสัญญาณรูปไข่น ที่มีความถี่ 8 เฮิร์ตซ์กับสัญญาณรบกวนที่มีความถี่ 10 เฮิร์ตซ์ ในกรณีนี้สัญญาณทั้งสองมีความถี่ใกล้เคียงกันมากจนเราไม่สามารถทำการแยกสัญญาณทั้งสองเมื่อเราพิจารณาจากกราฟได้



รูปที่ ก.1 Time Domain Graph of Noisy Sine Wave



รูปที่ ก.2 Time Domain Graph of Interfering Noise

สัญญาณต่างๆ ในห้องทดลองจะประกอบด้วยสัญญาณที่มีความถี่แตกต่างกันหลายค่าที่เราสนใจ และจะเดิมที่กับสัญญาณรบกวน ที่จะมีการกระจายอยู่ทุกช่วงความถี่ ในการคำนวณหาลักษณะของแอนปลิจูดของสัญญาณรบกวนในแต่ละความถี่ เราต้องทำการแปลงสัญญาณให้อยู่ในรูป frequency domain โดยใช้เครื่องมือที่เรียกว่า สเปกตรัมโอนาໄලเซอร์ (spectrum analyzers) แปลงไปอยู่ในรูปของแอนปลิจูดกับความถี่ในช่วงเวลาใดๆ แต่เราสามารถทำการแปลงได้จากการใช้วิธีการทางคณิตศาสตร์ที่เรียกว่า ฟูเรียร์transform (Fourier transform) และวิธีการคิดอัลฟิลเตอร์ (digital filter) ซึ่งจะไม่ขอกล่าวในที่นี้

Signal-to Noise Ratio

เพื่อต้องการวัด noise intensity วิธีการที่จะแสดงทำได้โดยการบอกในรูป signal-to noise ratio (SNR) ซึ่งเป็นอัตราส่วนระหว่าง signal power (P_s) กับ noise power (P_N)

$$\text{Signal to noise ratio (SNR)} = P_s / P_N$$

ผลลัพธ์อาจเขียนในรูปของ กระแสและความต่างศักย์ได้ดังนี้

$$\text{Power (P)} = VI = \frac{V^2}{R} = I^2 R$$

และเนื่องจากสัญญาณรบกวนเกิดขึ้นเนื่องจากหล่ายสารเหตุเพราะฉะนั้นผลลัพธ์ของสัญญาณรบกวน จะเป็นผลรวมจากแต่ละแหล่งของผลลัพธ์ ซึ่งเราสามารถเขียนในรูปใหม่ได้ดังนี้

$$\text{Signal to Noise Ratio (SNR)} = \frac{P_s}{P_{n1} + P_{n2} + \dots + P_{nn}}$$

และโดยทั่วไปจะเป็นในรูปของลอกการรีบ์มหรือเดซิเบล

$$\text{Signal to Noise Ratio (SNR)} = 10 \log \left(\frac{P_s}{P_n} \right) \text{ (dB)}$$

ถ้ากระแสที่ให้มีค่าคงที่ (ตัวนำตัวเดียวกัน) สามารถเป็นในรูปความต่างศักย์ได้ดังนี้

$$\text{Signal to Noise Ratio (SNR)} = 10 \log \left(\frac{V_s^2}{V_n^2} \right) \text{ (dB)}$$

ค่า SNR ควร่มีมากกว่าหนึ่ง ซึ่งยิ่งมากเท่าไหร่ควรตรวจสอบค่าสัญญาณก็จะทำได้ง่ายมากเท่านั้น
สัญญาณรบกวนจากแหล่งกำเนิดภายใน

โดยปกติแล้วในการวัดสัญญาณที่ไม่ต้องการความละเอียดมากนัก เช่นการวัดค่าอุปกรณ์
แปลงสัญญาณขนาด 8 บิต สัญญาณรบกวนจะไม่มีผลต่อการวัดมากนัก ซึ่งมันจะไปเกี่ยวข้องกับ
การวัดที่ต้องการความละเอียดสูง เช่น การวัดค่าอุปกรณ์แปลงสัญญาณขนาด 12 บิตและ 16 บิต
เนื่องจากค่าของสัญญาณรบกวนจะเป็นผลรวมจากสัญญาณรบกวนแต่ละแหล่งดังนั้นจำเป็นต้อง^{ที่}
ศึกษาและวิเคราะห์ถึงแหล่งกำเนิดและชนิดของสัญญาณรบกวนชนิดใดที่มีอิทธิพลมากที่สุดต่อ
ระบบ เพื่อหาทางลดหรือกำจัดออกไป ดังนั้นเราจำเป็นต้องศึกษาถึงแหล่งกำเนิดของสัญญาณรบ-
กวนที่เกิดขึ้นภายในของระบบ ซึ่งสามารถแบ่งได้ดังดังต่อไปนี้

1. **พาสซีฟเทอร์มัลน้อยส์ (Passive Thermal Noise)** อุปกรณ์อิเล็กทรอนิกแบบพาสซีฟบาง
ประเภท เช่น ตัวเก็บประจุ สามารถทำให้เกิด คริฟท์น้อยส์ ซึ่งจะเปลี่ยนแปลงค่าไปตามอุณหภูมิ
หรือตัวนำที่มีคุณสมบัติคล้ายเป็นตัวรับสัญญาณสนามแม่เหล็กและทำให้เกิดกระแสของสัญญาณ
รบกวน ขึ้นในระบบได้เช่นกัน และโดยเฉพาะอย่างยิ่งตัวความด้านทานจะเป็นส่วนสำคัญที่ทำให้
เกิดสัญญาณรบกวนขึ้นในระบบ เนื่องจากกระแสของอิเล็กทรอนิคที่ชันกับวัสดุความด้านทานทำให้
เกิดสัญญาณรบกวนที่เรียกว่าเทอร์มัลน้อยส์ ซึ่งมีค่าขึ้นอยู่กับอุณหภูมิ ค่าความด้านทาน และ
ความถี่

2. **แรนดอมช็อตโนയส์ (Random Shot Noise)** สัญญาณรบกวนชนิดนี้เกิดจากการชนกันของ
อิเล็กทรอนิกในตัวความด้านทานที่นำกระแสไฟฟ้ากระแสตรง ซึ่งรู้จักกันในชื่อ ช็อตคีบ์
(Shotky) ซึ่งขึ้นอยู่กับ กระแสที่ไหลผ่านความด้านทานนั้น และผลของสัญญาณรบกวนที่เกิดขึ้น

เนื่องจากความด้านท่านจะเป็นผลรวมแบบเวคเตอร์ของเทอร์มัลน้อยส์และแรงดูดมนต์อยส์ ซึ่งการควบคุมอุณหภูมิและการแสพท์ให้หล่อรอนความด้านท่าน ก็จะสามารถควบคุมสัญญาณรบกวนให้มีค่าน้อยลงได้

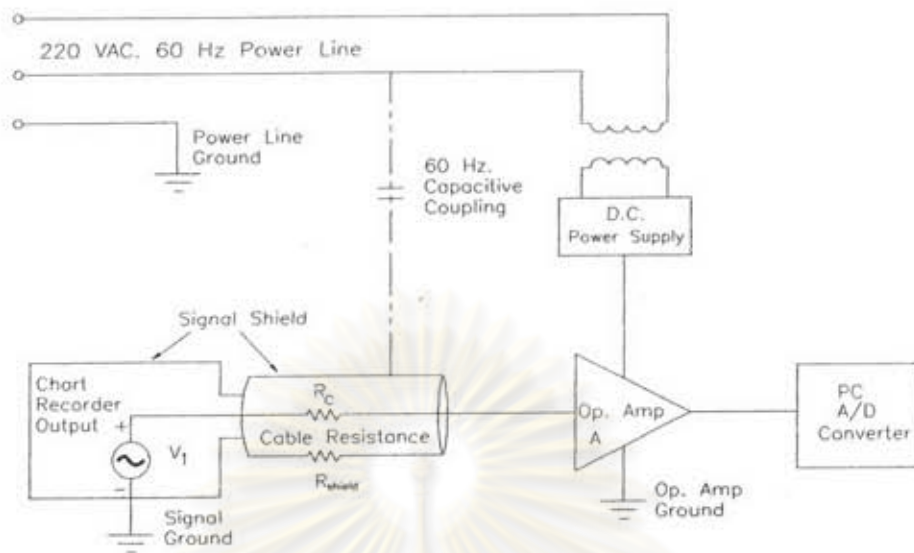
3. แอคทีฟเทอร์มัลน้อยส์ (Active Thermal Noise) อุปกรณ์อิเล็กทรอนิกแบบแอคทีฟ เช่น ออน-แอนฟ์ ทรานซิสเตอร์ ไคโอด จะมีความไวต่อการเปลี่ยนแปลงของอุณหภูมิ และทำให้เกิดสัญญาณรบกวนได้ง่ายโดยเฉพาะอุปกรณ์แปลงสัญญาณ A/D ซึ่งประกอบไปด้วยทรานซิสเตอร์และไคโอดจำนวนมาก ซึ่งในการพิจารณาเลือกใช้ควรเลือกใช้อุปกรณ์ที่มีคุณภาพสูง มีการขาดแซงการเปลี่ยนแปลงของอุณหภูมิ ก็จะทำให้ปัญหาหารดมนต์อยส์ลดลงได้

4. เอทุคิควอนไทชันน้อยส์ (A/D Quantization Noise) สัญญาณรบกวนชนิดนี้มีสาเหตุเนื่องจากการวัดค่าแบบอนามัยลือคด้วยวิธีการแบบดิจิตอล ซึ่งจะทำให้ขาดความละเอียดในการวัด และการแก้ไขที่ทำได้โดยการใช้อุปกรณ์แปลงสัญญาณ A/D ที่มีความละเอียดมากขึ้น หรือใช้วิธีการดิจิตอลฟิลเตอร์ (digital filter) ก็จะทำให้สามารถวัดค่าสัญญาณได้ถูกต้องยิ่งขึ้น

สัญญาณรบกวนจากแหล่งกำเนิดภายนอก

สัญญาณรบกวนนักจากจากจะเกิดภายในระบบแล้วซึ่งสามารถเกิดจากสาเหตุภายนอกด้วย เช่น สัญญาณรบกวนจากเครื่องมือชนิดอื่น นาฬอเรอร์ แสงฟลูออเรสเซนต์ เป็นต้น ซึ่งโดยทั่วไปแล้วจะแบ่งออกได้สองประเภทคือ อิเลคทริกน้อยส์ (Electric noise) เกิดเนื่องจากการคัปปัลจังระหว่างสนามไฟฟ้ากับสายสัญญาณของระบบหรือเครื่องมือวัด และอีกประเภทคือ เมกเนติกน้อยส์ (Magnetic noise) เกิดเนื่องจากกระแสซักนำในสายสัญญาณที่วางแผนอยู่ใกล้อุปกรณ์ที่ทำให้เกิดสนามแม่เหล็ก เช่น นาฬอเรอร์ไฟฟ้า ในกรณีจัดหรือลดสัญญาณรบกวนเหล่านี้สามารถทำได้โดยการแยกไม่ให้สัญญาณรบกวนเข้ามาในระบบได้ ซึ่งมีวิธีการต่างๆดังต่อไปนี้

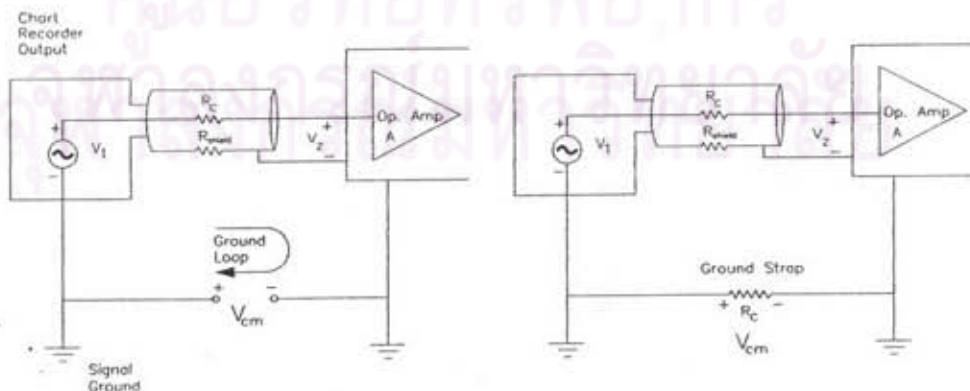
1. การชีลต์ (Shielding) การชีลต์ทำได้โดยการใช้วัสดุเหล็กแผ่นบางห่อหุ้มสายสัญญาณก่อนที่จะเข้าออกปะแคนปี ตามรูปที่ ก.3 โดยแผ่นชีลต์จะถูกต่อเข้ากับกราวด์ของเครื่องมือวัดซึ่งวิธีการนี้จะทำให้ไปลดคลาปารชีฟคัปปัลจังระหว่างสายไฟฟ้ากับสายสัญญาณของระบบ และเป็นการลดสัญญาณรบกวนที่เกิดเนื่องจากความถี่ของระบบไฟฟ้าที่เราใช้ (Line frequency noise) โดยทั่วไปแล้วเราควรกราวด์แผ่นชีลต์ที่จุดที่จะเกิดสัญญาณรบกวนมากที่สุด ซึ่งได้แก่ อุปกรณ์ตรวจวัด



รูปที่ ก.3 การชีลค์

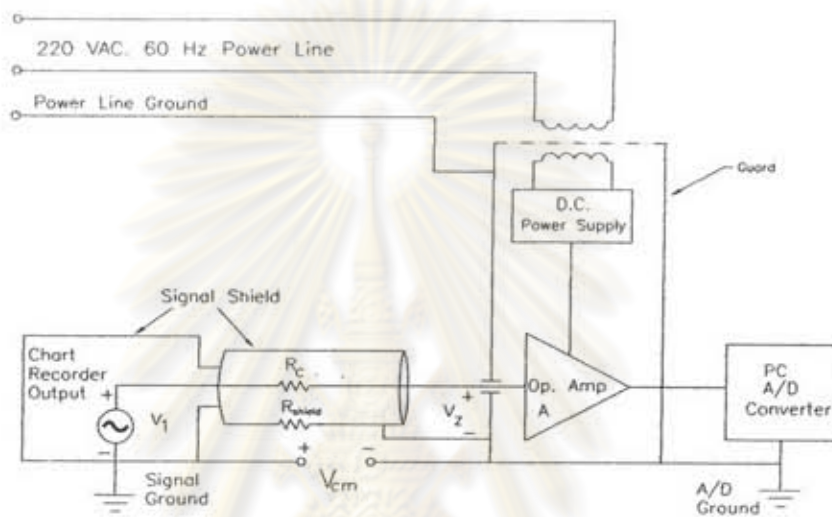
(Transducer) ที่ใช้ และถึงแม้ว่าการชีลค์จะไม่สามารถป้องกันสัญญาณรบกวนได้ทั้งหมดแต่ก็สามารถลดสัญญาณรบกวนได้ประมาณ 100 ถึง 1000 เท่า

2. ป้องกันการเกิดกราวด์ลูป(Avoiding Ground Loops) ปรากฎการซึ่งกราวด์ลูปเกิดเนื่องจากสาเหตุหลายประการ เช่น ความต้านทานของสายสัญญาณที่ใช้ระหว่างแหล่งกำเนิดสัญญาณกับเครื่องมือที่ใช้วัดค่ามีความขาวซึ่งความต่างศักย์ของกราวด์นี้จะสามารถเปลี่ยนแปลงได้ ณ ตำแหน่งต่างๆกัน ทำให้เกิดความต่างศักย์ต่อกันในสายสัญญาณ(common mode voltage, V_{cm})ได้ และเมื่อทำการวัดค่าก็จะผิดพลาดไป นอกเหนือไปนี้ยังมีสาเหตุมาจากการไฟฟ้าและสนามแม่เหล็กซึ่งน้ำใจให้เกิดกระแสไฟฟ้าในสายสัญญาณที่มีความขาวได้ ในการแก้ไขกราวด์ลูปทำได้โดยการใช้ตัวนำที่มีขานด้วย(ความต้านทานต่ำ) ต่อระหว่างกราวด์ทั้งสอง ตามรูปที่ ก.4 เพื่อลดความต่างศักย์ต่อกัน



รูปที่ ก.4 การเกิดกราวด์ลูปและการแก้ไข

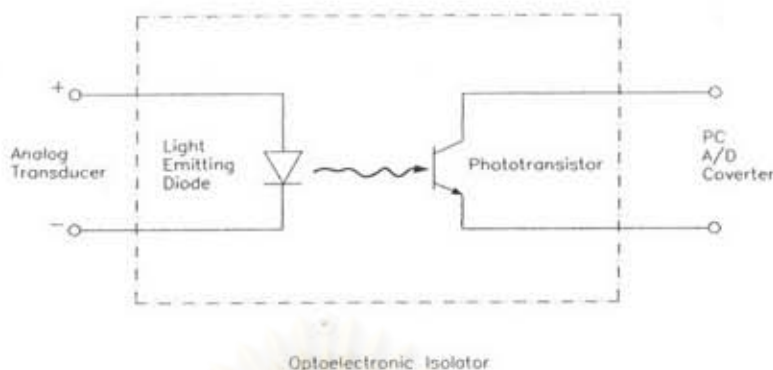
3. การรักษาและออกแบบไอโซเลชัน (Guards and Optical Isolation) การรักษาและการซีล์ดที่ดีโดยตรงกับ V_{cm} ระหว่างแหล่งกำเนิดสัญญาณและอุปกรณ์วัดแปลงสัญญาณ A/D แสดงตามรูปที่ ก.5 วิธีการนี้มีประสิทธิภาพสูงในการลดสัญญาณรบกวน วิธีการใช้งานทำได้โดยการติดตั้งการครอบวงจรขยายและให้ความต่างศักย์ค่าหนึ่งแก่การคัน ความต่างศักย์นี้จะทำให้มีเกิดกระแสไฟฟ้าผ่านอินพีเดนซ์แบบไม่สมดุลของแหล่งกำเนิดสัญญาณซึ่งเป็นสาเหตุของสัญญาณรบกวนได้



รูปที่ ก.5 การใช้การคัน

อีกวิธีการหนึ่งคือการแยกอุปกรณ์โดยใช้อุปกรณ์ทางแสงที่เรียกว่า ออพโทอิเลคทรอนิก ไอโซเลเตอร์ (optoelectronic isolator) ซึ่งประกอบด้วยแหล่งกำเนิดแสง (LED) และโฟโตไทรานซิสเตอร์ (Photo transistor) ที่ติดตั้งใกล้เคียงกันตามรูปที่ ก.6 ในรูปของวงจรไอซี (integrate circuit) โดยแสงจะมีความเข้มส่วนใหญ่ความต่างศักย์ไฟฟ้าของแหล่งกำเนิดสัญญาณและแสงนี้จะไปกระตุ้นขาเบนซของทรานซิสเตอร์ให้นำกระแส และทำให้เกิดความต่างศักย์ไฟฟ้าที่สามารถวัดได้ วิธีการนี้จะเป็นการแยกแหล่งกำเนิดสัญญาณออกจากอุปกรณ์ตรวจวัดทำให้มีความปลอดภัยในการใช้งาน และเป็นการลดสัญญาณรบกวนค่อนข้างมากไปด้วย

5. การเลือกใช้สายสัญญาณให้เหมาะสม สายสัญญาณที่ดีจะช่วยในการลดสัญญาณรบกวนออกจากระบบได้เป็นอย่างดี โดยเฉพาะสัญญาโนลีติกนั้นจะมีสัญญาณรบกวนเข้ามาเกี่ยวข้องด้วยเสมอ วิธีการที่ง่ายในการพิจารณาคือสายต้องสั้นที่สุดเท่าที่จะทำได้และควรจะเป็นสายสัญญาณที่มีการซีล์ด



รูปที่ ก.๖ ออพติคัลไอโซเลเตอร์

การกรองสัญญาณรบกวน

จากที่กล่าวมาแล้วจะเป็นการป้องกันและกำจัดสัญญาณรบกวนให้เกิดขึ้นและมีผลต่อระบบของเราน้อยที่สุด แต่ยังไรมีความสัญญาณรบกวนก็ไม่สามารถกำจัดให้หมดไปได้อย่างแท้จริง วิธีการที่ช่วยในการกำจัดสัญญาณรบกวนในขั้นตอนต่อไปต้องใช้การกรอง หรือ ฟิลเตอร์ (Filter) ซึ่งเป็นการกำจัดสัญญาณรบกวนที่เราไม่ต้องการออกไป และให้เหลือเฉพาะสัญญาณที่เราต้องการ

การฟิลเตอร์สามารถทำได้ทั้งในทาง hardware และซอฟต์แวร์ และโดยทั่วไปแล้วควรใช้วิธีการทึบสองวิธีร่วมกัน สารคดแวร์ฟิลเตอร์จะทำการตอบสนองที่รุคเริ่วเหมาะสมกับงานควบคุมและสามารถทำขึ้นจากอุปกรณ์ง่ายๆ เช่นวงจรกรองแบบ R-C ฟิลเตอร์ (คูณที่ 3) ในขณะที่ซอฟต์แวร์ฟิลเตอร์จะมีความคล่องตัว เพราะสามารถเปลี่ยนค่าความถี่ที่จะทำการกรองได้ โดยส่วนใหญ่แล้วจะไม่เหมาะสมกับงานควบคุม เพราะการวิเคราะห์ต้องกระทำการหาค่าเฉลี่ยของข้อมูลในแต่ละจุดจากจุดที่อยู่ข้างเคียง และสามารถเขียนในรูปสมการอนุกรมได้ดังนี้

$$X_n = \frac{\sum_{i=-q}^{+q} x_{n+i}}{2q + 1}$$

X_n คือ ข้อมูลเฉลี่ยที่ได้

$2q+1$ คือ จำนวนของข้อมูลที่ต้องนำมาใช้ในการเฉลี่ย

ภาคผนวก บ
ความถดถอยเชิงเส้นตรงและสหสัมพันธ์
(Linear Regression and Corelation)

ความถดถอยเชิงเส้นตรง

ความถดถอยเชิงเส้นตรง หมายถึงความถดถอยของตัวแปรตาม Y ที่มีต่อตัวแปรอิสระ X และมีลักษณะเป็นเส้นตรง ซึ่งอาจแสดงความสัมพันธ์ระหว่าง Y และ X ในรูปของตัวแบบเส้นตรง เชิงบวก ได้ดังนี้

$$Y_i = \beta_0 + \beta X_i + \varepsilon_i$$

โดยมีค่า β_0 เป็นค่าที่เส้นตรงตัดแกน Y และ β เป็นค่าความชันของเส้นตรง ค่า ε_i ในทางสถิติมีความหมายว่าเป็นค่าที่แสดงอัตราการเปลี่ยนค่าของ Y เมื่อ X เปลี่ยนค่าไป 1 หน่วย จึงมีชื่อเรียกว่า สัมประสิทธิ์ความถดถอย โดยจะมีค่ามากกว่า 0 เมื่อ Y มีความถดถอยไปในทางเดียวกันกับ X และมีค่าน้อยกว่า 0 เมื่อการเปลี่ยนแปลงของ Y มีความถดถอยไปในทางตรงข้ามกับ X ส่วนค่า ε เป็นค่าความคลาดเคลื่อนที่มีลักษณะเป็นตัวแปรสุ่ม ซึ่งเป็นอิสระกับ X และ Y

ถ้าให้ค่าประมาณของ Y_i คือ $\hat{Y}_i = \hat{\beta}_0 + \hat{\beta}X_i$ หรือเท่ากับ $\hat{Y}_i = bX_i + a$ และ $\varepsilon_i = Y_i - \hat{Y}_i$ ค่า b และ a สามารถหาได้ด้วยวิธีกำลังสองน้อยที่สุด (least squares method) ซึ่งหาได้โดยการหาค่าต่ำสุดของผลรวมของความคลาดเคลื่อน (ε_i) ยกกำลังสอง โดยใช้อุปััณฑ์เชิงส่วน (partial derivative) ดังต่อไปนี้

$$\frac{\partial(\sum \varepsilon_i^2)}{\partial a} = 0 \quad (1)$$

$$\frac{\partial(\sum \varepsilon_i^2)}{\partial b} = 0 \quad (2)$$

จากสมการที่ 1

$$\begin{aligned} \frac{\partial}{\partial a} \sum (Y_i - (a + bX_i))^2 &= \sum 2(Y_i - (a + bX_i))(-1) = 0 \\ \text{จะได้} \quad \sum Y_i - \sum (a + bX_i) &= 0 \\ \sum Y_i &= an + \sum bX_i \\ \bar{Y} &= a + b\bar{X} \end{aligned} \quad (3)$$

จากสมการที่ 2

$$\frac{\partial}{\partial b} \sum (Y_i - (a + bX_i))^2 = \sum 2(Y_i - (a + bX_i))(-X_i) = 0$$

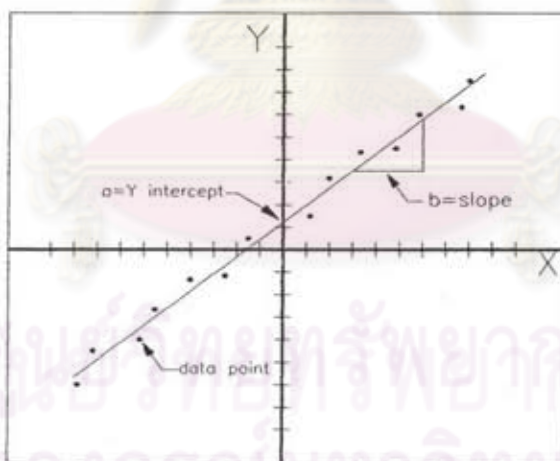
$$\sum (-X_i Y_i + aX_i + bX_i^2) = 0$$

$$\sum X_i Y_i = a \sum X_i + b \sum X_i^2$$

$$b = \frac{\sum X_i Y_i - a \sum X_i}{\sum X_i^2}$$

$$b = \frac{\sum (X_i - \bar{X})(Y_i - \bar{Y})}{\sum (X_i - \bar{X})^2} \quad (4)$$

ค่าความชันโดยประมาณ b จะแสดงโดยสมการที่ 4 ส่วนจุดตัดแกน Y ค่า a จะแสดงด้วย
สมการที่ 3



รูปที่ ๖.๑ Least square fit

ตัวบ่งชี้ความสัมพันธ์ระหว่าง X และ Y

ในกรณีอย่างง่าย(simple corelation) ที่มีตัวแปร 2 ตัว สามารถแสดงในรูปสมการได้ดังนี้

$$R^2 = \frac{(\sum (X_i - \bar{X})(Y_i - \bar{Y}))^2}{\sum (X_i - \bar{X})^2 \sum (Y_i - \bar{Y})^2} \quad (5)$$

ค่า R จะแสดงถึงความสัมพันธ์ระหว่าง X และ Y ว่ามีความสัมพันธ์กันมากน้อยเพียงใด ถ้า ค่า R เข้าใกล้ 1 หรือ -1 แสดงว่ามีความสัมพันธ์กันมาก และถ้าเข้าใกล้ 0 ก็จะมีความสัมพันธ์กันน้อย โดยทางด้านบวกจะแสดงว่ามีความสัมพันธ์ตามกัน ขณะที่ทางด้านลบจะแสดงความสัมพันธ์ตรงข้ามกัน





**ภาควิชา
การควบคุมแบบไฮบริด
(HYBRID CONTROL)**

ในการทำงานบางอย่างเรามีความจำเป็นต้องมีการควบคุมที่ต้องอาศัยการควบคุมทั้งคำแห่งง และแรงไปพร้อมๆกัน ซึ่งวิธีการควบคุมแบบนี้เรียกว่า การควบคุมแบบไฮบริด (Hybrid control) ลักษณะของการควบคุมจะให้แรงมีการควบคุมในทิศทางที่แน่นอนอันหนึ่งและให้การควบคุม คำแห่งทำในทิศทางที่เหลือ(เมสัน 1983)

ทิศทางที่เราสนใจนั้นหมายถึงทิศทางในระบบคาร์ทีเซียน โคออร์ดิเนต(Cartesian coordinate) ซึ่งไม่จำเป็นที่จะต้องเหนื่อยกับระบบของแขนหุ่นยนต์หรือตัวเขนเซอร์ แต่จะอยู่ใน การที่เขียนเฟรม ที่มีลักษณะที่สัมพันธ์กับงานที่จะทำ ทากะสะ อิโนอุ และ ยาคิวระ (1974) ได้ให้ นิยามถึงการนำแรงเข้ามาเกี่ยวข้องกับคาร์ทีเซียน เฟร์น ซึ่ง พอล์(1981) ได้เรียกเฟร์นแบบนี้ว่า คอนสเตรนท์เฟร์น (constraint frame) และได้ให้สัญญาณแบบด้วย [C]

ในการควบคุมแบบไฮบริดนี้ อยู่กรอบทำงานแต่ละตัวจะได้รับสัญญาณควบคุมซึ่งมาจาก หลายๆสัญญาณ เช่นมาจากการคุณแรงและมาจากการทำงานคำแห่ง ไรท์เบิร์ก และ เครก (1981) ได้อธิบายการควบคุมแบบนี้โดยเขียนในรูปสมการได้ดังนี้

$$T_i = \sum_{j=1}^n \left\{ \Gamma_{ij}(s_j \Delta f_j) + \Psi_{ij}((1-s_j) \Delta x_j) \right\}$$

เมื่อ

T_i = แรงบิดที่กระทำโดยอุปกรณ์ทำงานตัวที่ i

Δf_j = ความแตกต่างของแรงในทิศทาง j ของ [C]

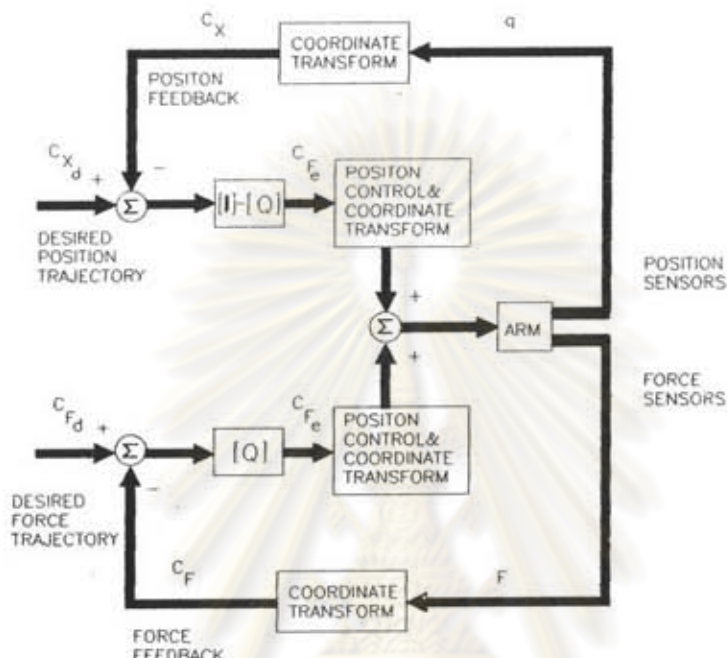
Δx_j = ความแตกต่างทางคำแห่งในทิศทาง j ของ [C]

Γ_{ij} = พิจารณาการซัดแซง สำหรับ j ที่ อยู่ในพุก และ i อยู่ที่พุก

Ψ_{ij} = พิจารณาการซัดแซงคำแห่ง สำหรับ j ที่ อยู่ในพุก และ i อยู่ที่พุก

s_j = ค่าในการเลือกการควบคุม

ค่าของ s_j จะอยู่ในรูปของ 0 และ 1 ซึ่งจะใช้ในการเลือกการควบคุม ว่าในทิศทางใดจะใช้การควบคุมแรง ค่า $s_j = 1$ และในทิศทางใดจะใช้การควบคุมแบบตัวแหน่ง $s_j = 0$ ซึ่งรูปแบบของ การควบคุมแบบไบบิริจจะแสดงตามรูป



รูปที่ ก.๑ แผนภาพการควบคุมแบบไบบิริจ

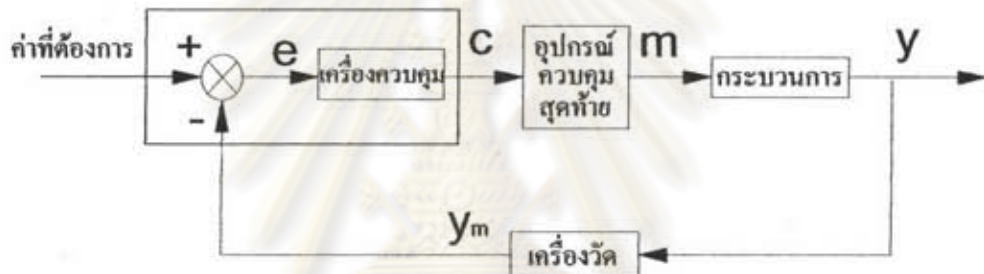
การควบคุมแบบมีการป้อนกลับแต่ละอุปจักรเป็นอิสระต่อกันซึ่งแต่ละอุปกรณ์จะให้สัญญาณขึ้นมาที่อุปกรณ์ทำงาน สัญลักษณ์ C หมายถึงการอ้างอิงเทียบกับค่าบนสเตറนท์เฟรม อุปด้านบนจะเป็นการควบคุมตัวแหน่ง ส่วนอุปด้านล่างจะเป็นการควบคุมแรง พิจารณาที่การควบคุมแรง ค่าของแรงจริงที่วัดได้จาก force sensor F ลบกับค่าแรงที่ต้องการ F_d จะให้ค่าความแตกต่าง F_e

ซึ่งค่าความแตกต่างนี้จะประกอบด้วยแรง 3 แนวแกน และ โมเมนต์ 3 แนวแกน จากความแตกต่างนี้จะผ่านบล็อก $[Q]$ ที่ทำหน้าที่ตัดส่วนประกอบของแรงในทิศทางที่ไม่ใช้ในการควบคุมออกไป โดยการปรับให้เป็นศูนย์ ก่อนที่จะผ่านไปที่ โคออร์ดิเนต ทรานส์ฟอร์ม บล็อก ซึ่งจะทำหน้าที่คำนวนแปลงเป็นขนาดของแรงบิดที่ต้องกระทำในแต่ละข้อต่อ แล้วก็จะไปรวมกับแรงบิดแต่ละข้อต่อที่ได้จากการควบคุมทางตัวแหน่ง ซึ่งก็จะส่งออกเป็นสัญญาณไปควบคุมแต่ละอุปกรณ์ทำงานต่อไป

ภาคผนวก ๔

การควบคุมแบบ PID

ในการควบคุมการปรับสมดุลย์ของวงจรบริจจ์เราจะใช้การควบคุมแบบที่เรียกว่าระบบวงปิด(closed loop) ซึ่งมีผังสัญญาณของระบบควบคุม แสดงในรูปที่ ๑ โดยตัวแปรออกที่เราต้องการคือค่าเอาท์พุทที่ได้จากการจับบริจจ์(ต้องการควบคุมให้เท่ากับศูนย์) และตัวแปรเข้าคือตัวแปรปรับกระบวนการ(สัญญาณควบคุมมอเตอร์) โดยในการควบคุมเราจะใช้คอมพิวเตอร์เป็นเครื่องควบคุมแบบ PID ซึ่งสามารถโปรแกรมให้อ่านค่าและนำค่าคลาดเคลื่อน(error) มาคำนวณหาค่าตัวแปรปรับกระบวนการเพื่อปรับสภาพของกระบวนการให้เข้าสู่เป้าหมายตามที่เราต้องการ



รูปที่ ๔.๑ ผังสัญญาณของระบบควบคุมแบบป้อนกลับ

โดยทั่วไปการควบคุมด้วยคอมพิวเตอร์จะทำงานตามลำดับขั้นตอนดังต่อไปนี้

1. เครื่องวัดตรวจสอบสภาพและวัดค่าตัวแปรกระบวนการ ในกรณีนี้คือความต่างศักยไฟฟ้าที่ได้จากวงจรบริจจ์
2. คำนวณค่าคลาดเคลื่อน e_n จากสมการ

$$e_n = r_n - c_n \quad (1)$$

เมื่อ r_n คือค่าที่ต้องการ ที่เก็บในคอมพิวเตอร์

3. คำนวณหาค่าของตัวแปรปรับกระบวนการ $m(t)$
4. ส่งค่าตัวแปรปรับกระบวนการให้กับอุปกรณ์ควบคุมสุดท้าย (ในกรณีนี้คืออุปกรณ์ขยายกำลัง)
5. ดำเนินการแบบเดิม โดยทำการตรวจสอบสภาพของตัวแปรกระบวนการ

ช่วงเวลาในการคำนวณหาค่าตัวแปรปรับกระบวนการจะมีระยะเวลาอยู่มากเมื่อเทียบช่วงระยะเวลาในการอ่านค่า ดังนั้นเราจึงสามารถพิจารณาได้ว่าค่าตัวแปรปรับกระบวนการจะมีลักษณะต่อเนื่องและสำหรับการใช้คอมพิวเตอร์ในการควบคุมจะต้องมีรูปแบบของการคำนวณเพื่อให้

สามารถทำการคำนวณได้อ้างอาศัยรูปแบบที่ใช้จะมีลักษณะดังนี้

$$m_n - m_{n-1} = K_0 e_n + K_1 e_{n-1} + K_2 e_{n-2} + \dots \quad (2)$$

การหาค่าตัวแปรควบคุม

1. การควบคุมแบบ Proportional control

สำหรับการควบคุมแบบพรอพอร์ชันแนล ค่าควบคุมจะเป็นอัตราส่วนกับค่าความผิดพลาด (error) ดังนี้

$$m(t) = K_p e(t) \quad (2)$$

เมื่อค่า K_p คือคงที่การควบคุมหรือค่าแกน สมการที่ 2 สามารถเขียนในรูปดิจิตอลได้ดังนี้

$$m_n = K_p e_n \quad (3)$$

เลื่อนสมการนี้อยกลับ 1 คานของการตรวจวัดจะได้

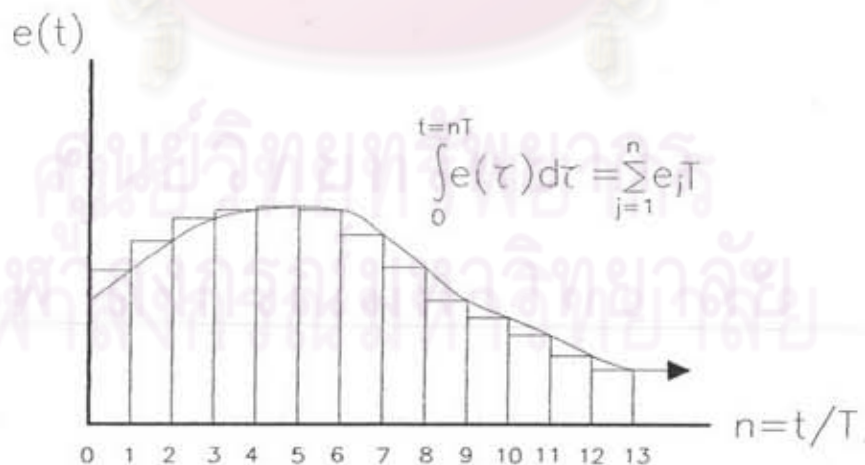
$$m_{n-1} = K_p e_{n-1} \quad (4)$$

ลบสมการที่ 4 จากสมการที่ 3 จะได้ในรูปสมการ

$$\Delta m_n = m_n - m_{n-1} = K_p (e_n - e_{n-1}) \quad (5)$$

2. การควบคุมแบบอินทิเกรชัน (Integral control)

สำหรับการควบคุมแบบอินทิเกรชัน ค่าควบคุมจะเป็นอัตราส่วนกับการอินทิเกรตค่าผิดพลาด เทียบกับเวลา แสดงได้ดังนี้



รูปที่ 4.2 การอินทิเกรตแบบดิจิตอล

$$m(t) = K_i \int_0^t e(\tau) d\tau \quad (6)$$

เมื่อค่า K_i คือค่าคงที่ของการควบคุม(ค่าเกณ)แบบอินทิกรัล จึงสามารถแสดงได้ดังนี้
พื้นที่ใต้กราฟค่าผิดพลาดแบบต่อเนื่อง สามารถแทนได้ด้วยพื้นที่สี่เหลี่ยมผืนผ้า ซึ่งแต่ละอันนั้นสามารถจะคำนวณได้จากค่าผิดพลาดแบบดีสครีต e_j และช่วงเวลาการวัดค่า T ดังนี้

$$m_i = K_i \sum_{j=1}^{n-1} Te_j \quad (7)$$

สามารถเขียนได้ในรูป

$$m_i = K_i \sum_{j=1}^{n-1} Te_j + K_i Te_n \quad (8)$$

จากสมการที่ 7

$$m_{i-1} = K_i \sum_{j=1}^{n-1} Te_j$$

ลบสมการที่ 7 จากสมการที่ 6 จะได้ในรูปของสมการอินคริเม้นต์รัล

$$\Delta m_i = m_i - m_{i-1} = K_i Te_n \quad (11)$$

3. การควบคุมแบบเคริเวทิฟ (Derivative Control)

การควบคุมแบบเคริเวทิฟ ค่าการควบคุมจะเป็นอัตราส่วนกับอัตราการเปลี่ยนแปลงของค่าความชันของกราฟค่าความผิดพลาด ตามรูปที่ 4.3



รูปที่ 4.3 การดิฟเฟอร์เรนซิเอตแบบดีสครีต

ค่าควบคุมแสดงในรูปสมการได้ดังนี้

$$m(t) = K_d \frac{de(t)}{dt} \quad (12)$$

สามารถเขียนในรูปสมการข้อนกลับได้ดังนี้

$$m_n = K_d \left(\frac{e_n - e_{n-1}}{T} \right)$$

และจะได้

$$\Delta m_n = m_n - m_{n-1} = \frac{K_d}{T} (e_n - 2e_{n-1} + e_{n-2}) \quad (13)$$

การควบคุมแบบ PID

การควบคุมที่นิยมใช้มากที่สุดจะเป็นการควบคุมที่รวมรูปแบบการควบคุมทั้ง 3 ประเภทที่กล่าวมาแล้วเข้าด้วยกัน และเรียกการควบคุมแบบนี้ว่า proportional plus integral plus derivative (PID) control และคงในรูปสมการได้ดังนี้

$$\Delta m_n = (\Delta m_n)_p + (\Delta m_n)_i + (\Delta m_n)_d \quad (14)$$

จากสมการที่ 5 11 และ 13 จะได้

$$\Delta m_n = m_n - m_{n-1} = K_0 e_n + K_1 e_{n-1} + K_2 e_{n-2} \quad (15)$$

เมื่อ

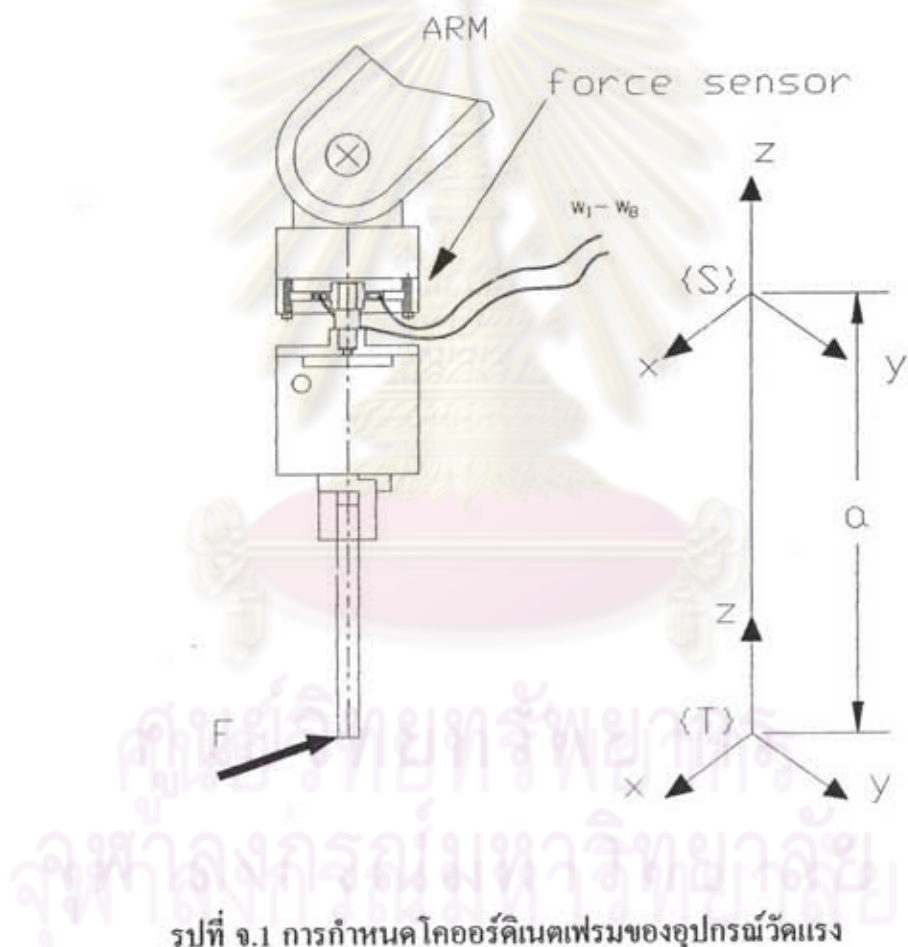
$$K_0 = K_p + K_i T + \frac{K_d}{T} \quad (16)$$

$$K_1 = -K_p - \frac{2K_d}{T} \quad (17)$$

$$K_2 = \frac{K_d}{T} \quad (18)$$

ภาคผนวก ๑
การเปลี่ยนแรงและโมเมนต์ที่แขนเชื่อมเฟรมเพื่อหาแรงและโมเมนต์ที่ทุกเฟรม

เนื่องจากขนาดของแรงและโมเมนต์ที่วัดได้จากอุปกรณ์วัดแรงที่ติดตั้งบริเวณข้อมือของแขนกลจะเป็นค่าที่เทียบกับโคออร์ดิเนตของตัวอุปกร์วัดแรงหรือที่เรียกว่า sensor fram {S} ในขณะที่ค่าที่เราต้องการคือค่าของแรงและโมเมนต์ที่เกิดขึ้นที่ปลายของอุปกรณ์ทำงานที่สัมผัสกับชิ้นงาน และเราจะทำการตั้งโคออร์ดิเนตเพื่ออ้างอิงทิศทางที่ดำเนินการนี้ว่า tool frame {T} ตามรูป

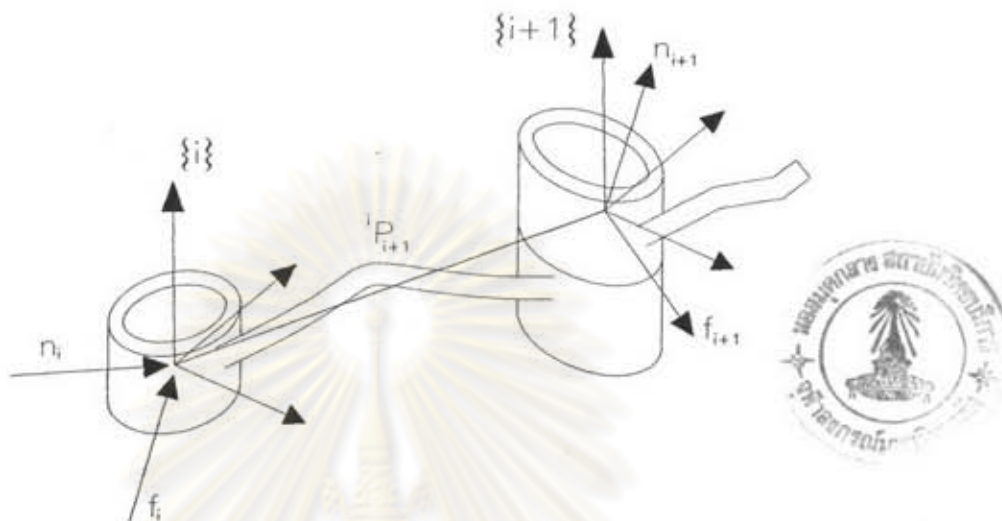


รูปที่ ๑ การกำหนดโคออร์ดิเนตเฟรมของอุปกรณ์วัดแรง

{S} = sensor frame

{T} = tool frame

ในการแปลงค่าของแรงจากโคลอร์ดิเนตหนึ่งไปยังโคลอร์ดิเนตหนึ่ง เราสามารถหาได้จากความสัมพันธ์ของแรงที่กระทำที่ข้อต่อดังนี้



รูปที่ ๗.๒ การแปลงแรงจากโคลอร์ดิเนตเฟรม (i) ไปที่ (i+1)

$${}^i f_i = {}^{i+1} R {}^{i+1} f_{i+1}$$

$${}^i n_i = {}^{i+1} R {}^{i+1} n_i + {}^i P_{i+1} {}^i f_i$$

จากสมการความสัมพันธ์สามารถเดาเขียนในรูปสมการเมตริกที่จะแปลงแรงและโมเมนต์ที่ sensor frame (S) เพื่อให้ได้ค่าของแรงและโมเมนต์ที่ tool frame (T) ได้ดังนี้

$$\begin{bmatrix} {}^T F_T \\ {}^S N_S \end{bmatrix} = \begin{bmatrix} {}^T R & 0 \\ {}^T P_S {}^T R & {}^T R \end{bmatrix} \begin{bmatrix} {}^S F_S \\ {}^S N_S \end{bmatrix}$$

หรือเขียนได้ในรูป

$${}^T F_T = {}^S T_T {}^S F_S$$

เมื่อ

$${}^S T_T = \text{force-moment transformation}$$

$$\theta_i = 0 \quad \text{มุมระหว่าง } X_{i-1} \text{ กับ } X_i \text{ วัดตามแกน } Z_i$$

$$\alpha_{i-1} = 0 \quad \text{มุมระหว่าง } Z_{i-1} \text{ กับ } Z_i \text{ วัดตามแกน } X_i$$

$$d_i = a \quad \text{ระยะจาก } X_{i-1} \text{ ถึง } X_i \text{ วัดตามแกน } Z_i$$

$$a_{i-1} = 0 \quad \text{ระยะระหว่าง } Z_{i-1} \text{ ถึง } Z_i \text{ วัดตามแกน } Z_{i-1}$$

ឧប្បជ្ជ

$${}^T R = \begin{bmatrix} 1 & 0 & 0 \\ 0 & 1 & 0 \\ 0 & 0 & 1 \end{bmatrix}$$

$${}^T P_{org} = \begin{bmatrix} P_x \\ P_y \\ P_z \end{bmatrix} = \begin{bmatrix} 0 \\ 0 \\ a \end{bmatrix}$$

$${}^T P_{org} x = \begin{bmatrix} 0 & -P_z & P_y \\ P_z & 0 & -P_x \\ -P_y & P_x & 0 \end{bmatrix}$$

$${}^T P_{org} x {}^T R = \begin{bmatrix} 0 & -a & 0 \\ a & 0 & 0 \\ 0 & 0 & 0 \end{bmatrix}$$

ឧប្បជ្ជនៃរូបសមារមទិន្នន័យ

$$\begin{bmatrix} F_x \\ F_y \\ F_z \\ M_x \\ M_y \\ M_z \end{bmatrix}^{(1)} = \begin{bmatrix} 1 & 0 & 0 & 0 & 0 & 0 \\ 0 & 1 & 0 & 0 & 0 & 0 \\ 0 & 0 & 1 & 0 & 0 & 0 \\ 0 & -a & 0 & 1 & 0 & 0 \\ a & 0 & 0 & 0 & 0 & 0 \\ 0 & 0 & 0 & 0 & 0 & 1 \end{bmatrix} \begin{bmatrix} F_x \\ F_y \\ F_z \\ M_x \\ M_y \\ M_z \end{bmatrix}^{(2)}$$

คั่งน์ force-moment transformation ($\begin{smallmatrix} T \\ s \end{smallmatrix} T_f$)

$$\begin{smallmatrix} T \\ s \end{smallmatrix} T_f = \begin{bmatrix} 1 & 0 & 0 & 0 & 0 & 0 \\ 0 & 1 & 0 & 0 & 0 & 0 \\ 0 & 0 & 1 & 0 & 0 & 0 \\ 0 & -a & 0 & 1 & 0 & 0 \\ a & 0 & 0 & 0 & 0 & 0 \\ 0 & 0 & 0 & 0 & 0 & 1 \end{bmatrix}$$

ภาคผนวก ฉ

ตารางที่ ฉ.1 แสดงผลของแรงในแนวแกน Z ด้านบน

ครั้งที่	Fx	Fy	Fz	Mz	ครั้งที่	Fx	Fy	Fz	Mz
	(นิวตัน)	(นิวตัน)	(นิวตัน)	น.ม		(นิวตัน)	(นิวตัน)	(นิวตัน)	น.ม
1	-4.36	-0.02	0.14	0.03	26	-8.44	-0.03	0.04	0.08
2	-4.38	-0.03	0.06	0.04	27	-8.5	-0.03	0.15	0.08
3	-4.36	-0.02	0.06	0.04	28	-8.55	-0.03	0.03	0.08
4	-4.35	-0.04	0.08	0.04	29	-8.55	-0.04	-0.24	0.08
5	-4.36	-0.03	0.12	0.04	30	-8.52	-0.03	-0.19	0.08
6	-4.37	-0.04	0.22	0.04	31	-8.55	-0.03	0.16	0.08
7	-4.38	-0.04	0.25	0.03	32	-8.57	-0.03	-0.17	0.08
8	-4.36	-0.04	0.26	0.03	33	-8.73	-0.03	-0.13	0.09
9	-4.39	-0.04	0.41	0.04	34	-8.95	-0.03	0.55	0.09
10	-4.42	-0.05	0.3	0.03	35	-9.43	-0.03	1.17	0.09
11	-4.42	-0.05	0.36	0.03	36	-11.49	0	6.1	0.11
12	-4.51	-0.05	0.35	0.04	37	-14.26	-0.06	1.13	0.14
13	-5.38	-0.04	2.25	0.05	38	-14.63	-0.11	0.32	0.14
14	-7.71	-0.03	2.36	0.07	39	-14.68	-0.14	0.5	0.12
15	-8.33	-0.04	-0.08	0.08	40	-14.68	-0.15	0.69	0.12
16	-8.31	-0.06	0.32	0.08	41	-14.68	-0.16	0.83	0.11
17	-8.45	-0.07	0.33	0.07	42	-14.64	-0.17	0.84	0.11
18	-8.45	-0.07	0.33	0.07	43	-14.66	-0.16	0.88	0.11
19	-8.46	-0.03	0.12	0.07	44	-14.68	-0.16	0.87	0.11
20	-8.44	-0.01	0.11	0.08	45	-14.74	-0.18	1.14	0.11
21	-8.43	-0.02	0.3	0.08	46	-14.76	-0.16	0.91	0.11
22	-8.45	-0.08	0.8	0.07	47	-14.68	-0.17	0.89	0.11
23	-8.44	-0.08	0.61	0.06	48	-14.67	-0.17	0.94	0.11
24	-8.43	-0.05	0.23	0.07	49	-14.69	-0.17	0.97	0.11
25	-8.42	-0.04	0.08	0.08					

ตารางที่ ๑.๒ แสดงผลของแรงในแนวแกน X ด้านบวก

ครั้งที่	Fx	Fy	Fz	Mz	ครั้งที่	Fx	Fy	Fz	Mz
	(นิวตัน)	(นิวตัน)	(นิวตัน)	น.ม		(นิวตัน)	(นิวตัน)	(นิวตัน)	น.ม
1	14.98	-0.02	0.96	-0.15	26	8.75	0.01	0.27	-0.09
2	14.97	-0.03	0.91	-0.15	27	8.59	0.05	1.13	-0.08
3	15.02	-0.03	1.11	-0.15	28	5.8	0.07	5.33	-0.05
4	15.01	-0.02	1.1	-0.15	29	4.57	0.03	0.89	-0.05
5	14.97	-0.03	1.19	-0.15	30	4.51	0.01	0.8	-0.05
6	14.97	-0.03	1.03	-0.15	31	4.5	-0.02	1.1	-0.05
7	15	-0.01	0.94	-0.15	32	4.47	0	0.82	-0.06
8	15	-0.01	0.92	-0.15	33	4.52	0	0.58	-0.05
9	14.99	-0.01	1.04	-0.15	34	4.52	0	0.54	-0.05
10	15	0	0.73	-0.15	35	4.5	0.03	0.41	-0.05
11	14.88	0.01	1.77	-0.14	36	3.94	0.08	0.66	-0.04
12	13.14	0.03	5.7	-0.13	37	1.97	0.13	5.06	-0.01
13	10.53	0.06	3.83	-0.1	38	0.21	0.05	0.52	0
14	8.98	0.02	1.54	-0.08	39	0.04	0.05	-0.13	0
15	8.69	0.02	0.86	-0.08	40	0.03	0.03	-0.02	0
16	8.6	0	0.54	-0.08	41	0.03	0.04	-0.01	0
17	8.67	-0.01	0.78	-0.09	42	0.02	0.02	0.04	0
18	8.65	-0.03	1.05	-0.09	43	0.03	0	0.24	0
19	8.71	-0.05	0.93	-0.09	44	0.03	0.01	0.15	0
20	8.78	-0.05	1.27	-0.1	45	0.03	-0.01	0.38	-0.01
21	8.73	-0.06	1.41	-0.1	46	0.03	-0.03	0.54	-0.01
22	8.69	-0.08	1.52	-0.1	47	0.04	-0.02	0.62	-0.01
23	8.68	-0.06	1.19	-0.11	48	0.04	-0.01	0.55	-0.01
24	8.78	-0.04	1.04	-0.1	49	0.03	0.01	0.27	0
25	8.75	-0.02	1.1	-0.1					

ตารางที่ ฉ.3 แสดงผลของแรงในแนวแกน Y ด้านลบน

ครั้งที่	Fx	Fy	Fz	Mz	ครั้งที่	Fx	Fy	Fz	Mz
	(นิวตัน)	(นิวตัน)	(นิวตัน)	น.ม		(นิวตัน)	(นิวตัน)	(นิวตัน)	น.ม
1	0.11	-14.58	0	-0.03	26	-0.01	-4.4	-0.51	0
2	0.1	-14.55	-0.09	-0.02	27	-0.01	-4.38	-0.46	0
3	0.1	-14.55	0.09	-0.02	28	0	-4.39	-0.48	0
4	0.1	-14.57	0.09	-0.02	29	0	-4.49	-0.62	0
5	0.1	-14.56	0.05	-0.02	30	0	-4.45	-0.47	0
6	0.1	-14.53	0.01	-0.02	31	0	-4.4	-0.5	0
7	0.1	-14.56	0.02	-0.02	32	0	-4.41	-0.31	0
8	0.09	-14.59	0	-0.02	33	0.01	-4.44	-0.4	0
9	0.1	-14.55	-0.05	-0.02	34	0	-4.44	-0.46	0
10	0.1	-13.85	-4.13	-0.02	35	0	-4.51	-0.68	0
11	0.06	-10.06	-5.8	-0.03	36	0	-2.36	-7.26	-0.01
12	0.03	-8.63	-1.02	-0.01	37	-0.06	-0.29	-1.97	0.01
13	0.02	-8.49	-0.29	-0.01	38	-0.06	-0.04	-0.24	0.01
14	0.02	-8.46	-0.08	-0.01	39	-0.05	-0.03	-0.08	0.01
15	0.03	-8.5	-0.15	-0.01	40	-0.05	-0.04	0.15	0
16	0.02	-8.52	-0.35	-0.01	41	-0.04	-0.04	0.02	0
17	0.02	-8.49	-0.48	-0.01	42	-0.05	-0.02	0.1	0
18	0.02	-8.44	-0.2	-0.01	43	-0.05	-0.04	0.2	0
19	0.02	-8.5	0.16	-0.01	44	-0.04	-0.03	0.15	0
20	0.03	-8.54	0.06	-0.02	45	-0.05	-0.03	0.01	0
21	0.03	-8.5	-0.06	-0.02	46	-0.04	-0.02	-0.22	0.01
22	0.03	-8.46	-0.22	-0.01	47	-0.05	-0.02	-0.08	0.01
23	0.03	-8.43	-0.67	-0.01	48	-0.05	-0.02	-0.07	0.01
24	0.02	-6.26	-8.67	-0.02	49	-0.05	-0.03	-0.05	0.01
25	-0.01	-4.51	-1.05	0					

ตารางที่ ด.4 แสดงผลของแรงในแนวแกน Y ต้านบวก

ครั้งที่	Fx	Fy	Fz	Mz	ครั้งที่	Fx	Fy	Fz	Mz
	(นิวตัน)	(นิวตัน)	(นิวตัน)	น.ม		(นิวตัน)	(นิวตัน)	(นิวตัน)	น.ม
1	0.04	14.16	0.46	0.03	26	0.02	8.37	0.45	0.02
2	0.04	14.15	0.5	0.03	27	0.02	8.39	0.22	0.02
3	0.04	14.13	0.45	0.03	28	0.02	8.49	0.17	0.02
4	0.04	14.12	0.4	0.03	29	0.02	8.52	0.44	0.02
5	0.04	14.14	0.38	0.03	30	0.02	8.22	2.1	0.03
6	0.03	14.15	0.36	0.03	31	0	5.59	5.54	0.04
7	0.03	14.14	0.37	0.03	32	0	4.43	0.25	0.02
8	0.03	14.13	0.25	0.03	33	-0.01	4.39	-0.03	0.02
9	0.04	14.14	0.21	0.04	34	0	4.43	0.14	0.02
10	0.03	14.16	0.11	0.04	35	0	4.41	0.21	0.01
11	0.03	14.14	0.2	0.04	36	0	4.35	0.23	0.02
12	0.03	13.51	3.43	0.04	37	0	4.31	-0.08	0.02
13	0.02	10.56	5.49	0.05	38	0	4.35	-0.1	0.02
14	0.03	8.79	1.51	0.03	39	-0.01	2.87	7.47	0.03
15	0.02	8.5	0.48	0.02	40	0	0.44	1.42	0.02
16	0.02	8.43	0.35	0.02	41	0	0.05	0.05	0.01
17	0.02	8.45	0.28	0.02	42	-0.01	0.01	-0.23	0.01
18	0.02	8.55	0.21	0.02	43	-0.02	0	-0.2	0.01
19	0.03	8.6	0.52	0.02	44	-0.02	0	-0.16	0.01
20	0.03	8.55	0.69	0.02	45	-0.01	0	-0.15	0.01
21	0.03	8.46	0.44	0.02	46	-0.01	0	-0.12	0.01
22	0.02	8.45	0.21	0.02	47	-0.02	0	-0.13	0.01
23	0.04	8.51	0.33	0.02	48	-0.01	0	-0.06	0.01
24	0.04	8.54	0.31	0.03	49	-0.01	0	-0.09	0.01
25	0.03	8.46	0.43	0.03					

ตารางที่ ด.5 แสดงผลของแรงในแนวแกน Z ด้านลบน

ครั้งที่	Fx	Fy	Fz	Mz	ครั้งที่	Fx	Fy	Fz	Mz
	(นิวตัน)	(นิวตัน)	(นิวตัน)	น.ม		(นิวตัน)	(นิวตัน)	(นิวตัน)	น.ม
1	0.33	-0.22	-33.59	-0.01	26	0.15	-0.11	-17.07	-0.02
2	0.33	-0.22	-33.57	-0.01	27	0.16	-0.1	-17.34	-0.02
3	0.33	-0.22	-33.47	-0.01	28	0.14	-0.11	-17.22	-0.01
4	0.33	-0.22	-33.57	-0.01	29	0.15	-0.11	-17.17	-0.02
5	0.33	-0.22	-33.56	-0.01	30	0.11	-0.22	-16.41	-0.01
6	0.33	-0.22	-33.58	-0.02	31	0.18	-0.36	-9.19	-0.02
7	0.33	-0.23	-33.57	-0.02	32	0.44	-0.15	-2.38	-0.02
8	0.33	-0.24	-33.37	-0.02	33	0.22	-0.06	0.58	-0.02
9	0.34	-0.27	-33.51	-0.02	34	0.02	-0.04	0.14	-0.02
10	0.34	-0.27	-33.28	-0.02	35	0.01	-0.04	0.02	-0.02
11	0.34	-0.25	-33.3	-0.02	36	0	-0.03	-0.02	-0.02
12	0.32	-0.28	-32.8	-0.02	37	0	-0.05	0.35	-0.02
13	0.17	-0.32	-30.89	-0.02	38	0	-0.06	0.46	-0.02
14	0.04	-0.26	-26.51	-0.02	39	0	-0.03	0.05	-0.02
15	-0.07	-0.17	-21.01	-0.02	40	0	-0.02	-0.24	-0.01
16	0.06	-0.11	-18.08	-0.02	41	-0.02	-0.04	-0.16	-0.01
17	0.18	-0.12	-16.59	-0.02	42	-0.02	-0.06	0.03	-0.01
18	0.38	-0.12	-16.88	-0.02	43	-0.01	-0.07	0.06	-0.01
19	0.62	-0.18	-17.16	-0.02	44	-0.01	-0.05	-0.03	-0.01
20	0.39	-0.13	-16.44	-0.02	45	-0.02	-0.04	-0.18	-0.01
21	0.21	-0.11	-16.72	-0.02	46	-0.01	-0.04	-0.14	-0.01
22	0.18	-0.11	-17.01	-0.02	47	-0.02	-0.01	-0.47	-0.01
23	0.16	-0.15	-16.7	-0.02	48	-0.02	-0.03	-0.43	0
24	0.15	-0.15	-16.66	-0.02	49	-0.02	-0.06	-0.26	0
25	0.15	-0.12	-16.85	-0.02					

ตารางที่ ฉ.6 แสดงผลของแรงในแนวแกน Z ด้านบวก

ครั้งที่	Fx	Fy	Fz	Mz	ครั้งที่	Fx	Fy	Fz	Mz
	(นิวตัน)	(นิวตัน)	(นิวตัน)	น.ม		(นิวตัน)	(นิวตัน)	(นิวตัน)	น.ม
1	-0.46	0.37	36.83	0	26	-0.5	0.44	19.95	-0.01
2	-0.44	0.31	37.26	0.01	27	-0.57	0.4	19.64	0
3	-0.35	0.39	35.83	0	28	-0.39	0.29	18.96	-0.01
4	-0.28	0.49	37.09	-0.01	29	-0.35	0.37	19.63	-0.01
5	-0.46	0.39	36.7	0	30	-0.48	0.28	19.88	-0.01
6	-0.35	0.33	36.34	0.03	31	-0.33	0.26	19.39	0.01
7	-0.29	0.41	36.16	0	32	-0.31	0.31	18.97	-0.01
8	-0.36	0.5	36.53	0	33	-0.42	0.39	19.55	0
9	-0.46	0.33	37.13	0.01	34	-0.45	0.32	19.52	0.01
10	-0.35	0.4	35.74	0.01	35	-0.47	0.36	19.68	0
11	-0.29	0.51	37	-0.01	36	-0.08	0.17	15.66	-0.02
12	-0.46	0.51	37.24	0	37	-0.02	0.08	1.12	-0.02
13	-0.36	0.33	36.29	0.02	38	-0.05	0.01	-1	-0.01
14	-0.29	0.41	36.12	0	39	-0.05	0.02	-1.03	-0.01
15	-0.36	0.49	36.25	0	40	-0.04	0.01	-0.99	0
16	-0.47	0.32	36.7	0	41	-0.04	0.02	-0.95	-0.01
17	-0.4	0.36	35.84	0.02	42	-0.04	0.02	-0.94	-0.01
18	-0.41	0.47	36.62	-0.02	43	-0.04	0.01	-0.97	-0.01
19	-0.31	0.76	34.58	-0.02	44	-0.04	0.01	-0.93	-0.01
20	-0.08	0.36	23.09	-0.01	45	-0.04	0.01	-0.79	-0.01
21	-0.3	0.33	19.4	0	46	-0.04	0.01	-0.73	-0.01
22	-0.34	0.39	19.21	0	47	-0.04	0	-0.78	-0.01
23	-0.46	0.29	19.51	0	48	-0.03	0	-0.74	-0.01
24	-0.38	0.29	19.59	0.01	49	-0.03	0	-0.69	-0.01
25	-0.34	0.33	19.42	-0.01					

ตารางที่ 9.7 แสดงผลของโมเมนต์ในแนวแกน Z ด้านลับ

ครั้งที่	Fx	Fy	Fz	Mz	ครั้งที่	Fx	Fy	Fz	Mz
	(นิวตัน)	(นิวตัน)	(นิวตัน)	น.ม		(นิวตัน)	(นิวตัน)	(นิวตัน)	น.ม
1	-0.08	0.52	1.98	-1.81	26	-0.05	0.24	0.78	-0.94
2	-0.08	0.53	1.92	-1.81	27	-0.04	0.26	0.74	-0.94
3	-0.08	0.52	1.88	-1.81	28	-0.05	0.29	0.52	-0.94
4	-0.09	0.52	1.82	-1.81	29	-0.04	0.26	0.67	-0.94
5	-0.08	0.52	1.83	-1.81	30	-0.04	0.26	0.51	-0.94
6	-0.08	0.52	1.73	-1.81	31	-0.03	0.25	0.36	-0.92
7	-0.08	0.52	1.62	-1.81	32	-0.03	0.14	0.27	-0.77
8	-0.08	0.52	1.49	-1.81	33	0.04	0.03	-1.1	-0.18
9	-0.09	0.53	1.39	-1.81	34	-0.01	0.04	-1.3	0
10	-0.09	0.53	1.36	-1.81	35	0	0.04	-1.15	0.02
11	-0.08	0.53	1.45	-1.81	36	-0.01	0.05	-1.3	0.02
12	-0.08	0.53	1.56	-1.81	37	-0.02	0.03	-1.02	0.01
13	-0.09	0.53	1.65	-1.82	38	-0.02	0.03	-1.05	0.01
14	-0.09	0.54	1.55	-1.82	39	-0.02	0.03	-1.05	0.01
15	-0.09	0.53	1.47	-1.81	40	-0.02	0.01	-1.2	0.01
16	-0.09	0.51	1.63	-1.81	41	-0.03	0.01	-1.11	0.01
17	-0.1	0.51	1.76	-1.82	42	-0.02	0.04	-1.15	0.01
18	-0.1	0.5	1.86	-1.81	43	-0.03	0.02	-1.06	0.01
19	0.01	0.28	1.81	-1.45	44	-0.03	0.02	-1.03	0.01
20	-0.05	0.3	0.14	-0.97	45	-0.01	0.04	-1.04	0.01
21	-0.04	0.29	0.17	-0.92	46	-0.01	0.05	-1.08	0.01
22	-0.04	0.28	0.41	-0.93	47	-0.01	0.07	-1.28	0.01
23	-0.04	0.28	0.45	-0.94	48	-0.02	0.04	-1.15	0.02
24	-0.04	0.27	0.44	-0.94	49	-0.02	0.04	-0.88	0.01
25	-0.05	0.27	0.52	-0.94					

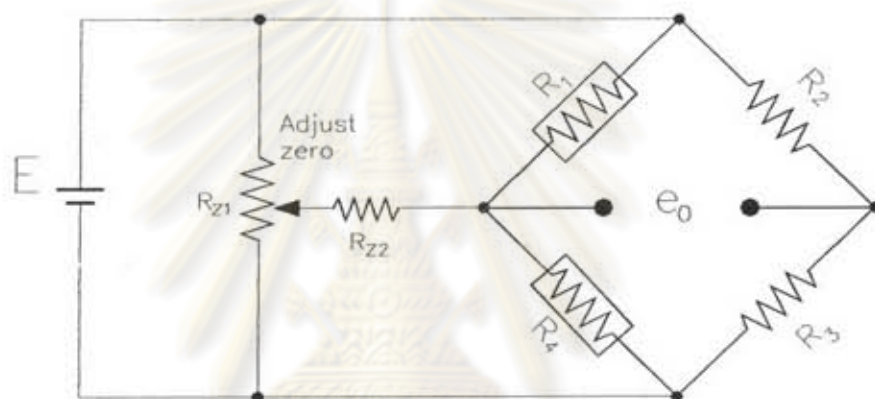
ตารางที่ ๙.๘ แสดงผลของโมเมนต์ในแนวแกน Z ด้านนอก

ครั้งที่	Fx	Fy	Fz	Mz	ครั้งที่	Fx	Fy	Fz	Mz
	(นิวตัน)	(นิวตัน)	(นิวตัน)	น.ม		(นิวตัน)	(นิวตัน)	(นิวตัน)	น.ม
1	0.1	-0.66	-2.4	1.84	26	0.08	-0.37	-1.3	0.97
2	0.15	-0.67	-2.17	1.84	27	0.07	-0.4	-1.23	0.94
3	0.11	-0.64	-2.41	1.83	28	0.09	-0.36	-0.38	0.94
4	0.15	-0.65	-2.31	1.83	29	0.06	-0.38	-1.05	0.95
5	0.13	-0.63	-2.57	1.83	30	0.07	-0.33	-0.56	0.96
6	0.14	-0.64	-2.65	1.84	31	0.05	-0.37	-1.05	0.94
7	0.12	-0.62	-2.9	1.84	32	0.07	-0.38	-0.58	0.93
8	0.16	-0.63	-2.87	1.84	33	0.07	-0.4	-0.67	0.93
9	0.12	-0.61	-3.02	1.83	34	0.09	-0.39	-0.01	0.94
10	0.17	-0.63	-2.88	1.84	35	0.06	-0.44	-0.43	0.94
11	0.12	-0.61	-3.06	1.84	36	0.09	-0.39	-0.01	0.95
12	0.16	-0.62	-2.96	1.84	37	0.05	-0.42	-0.71	0.94
13	0.12	-0.61	-3.06	1.83	38	0.07	-0.41	-0.47	0.94
14	0.14	-0.63	-2.84	1.83	39	0.06	-0.36	-1.11	0.93
15	0.12	-0.63	-2.58	1.82	40	0.08	-0.37	-0.92	0.95
16	0.16	-0.64	-2.51	1.83	41	0.06	-0.35	-1.44	0.94
17	0.11	-0.62	-2.77	1.83	42	0.06	-0.17	-1.44	0.78
18	0.16	-0.64	-2.68	1.83	43	-0.02	-0.07	-0.47	0.2
19	0.11	-0.63	-2.69	1.82	44	0.02	-0.09	0.09	0.01
20	0.16	-0.42	-0.6	1.82	45	0.01	-0.08	0.07	-0.01
21	0.12	-0.65	-2.36	1.82	46	0.02	-0.08	-0.03	-0.01
22	0.17	-0.63	-2.16	1.84	47	0.01	-0.09	-0.15	-0.01
23	0.14	-0.62	-2.8	1.84	48	0.02	-0.13	-0.05	-0.02
24	0.11	-0.47	-3.1	1.75	49	0.02	-0.12	0.4	-0.02
25	0.04	-0.35	-2.32	1.18					

ภาคผนวก ช
อุปกรณ์อิเล็กทรอนิกที่ใช้ในการทดลอง

ในการทำการทดลองวิจัยเรื่องอุปกรณ์ตรวจรูปธรรมสำหรับงานควบคุมแขนกล นอกจากการสร้างด้วยอุปกรณ์วัดแรงดึง ผู้วิจัยได้จัดสร้างชุดอุปกรณ์ทางอิเล็กทรอนิก ที่ใช้ประกอบการวิจัย ดังรายละเอียดดังๆ ดังต่อไปนี้

1. ชุดวงจรบันวิจัย จำนวน 8 ชุด



รูปที่ ช.1 ชุดวงจรบันวิจัย

รายการอุปกรณ์

R_1, R_4 สเตอร์นเกจ ความต้านทาน 120 Ω เกจแฟคเตอร์ 2.1

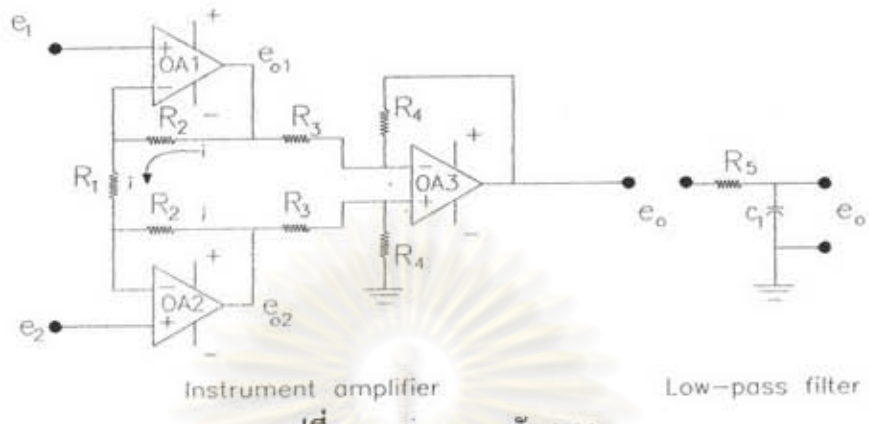
R_2, R_3 ความต้านทาน 120 Ω

R_{z1} ความต้านทานแบบปรับค่าได้ 50 k Ω

R_{z2} ความต้านทาน 12 k Ω

E ความต่างศักย์ 6 โวลต์

2. ชุดอุปกรณ์ขยายสัญญาณ (Signal amplifier) จำนวน 8 ชุด

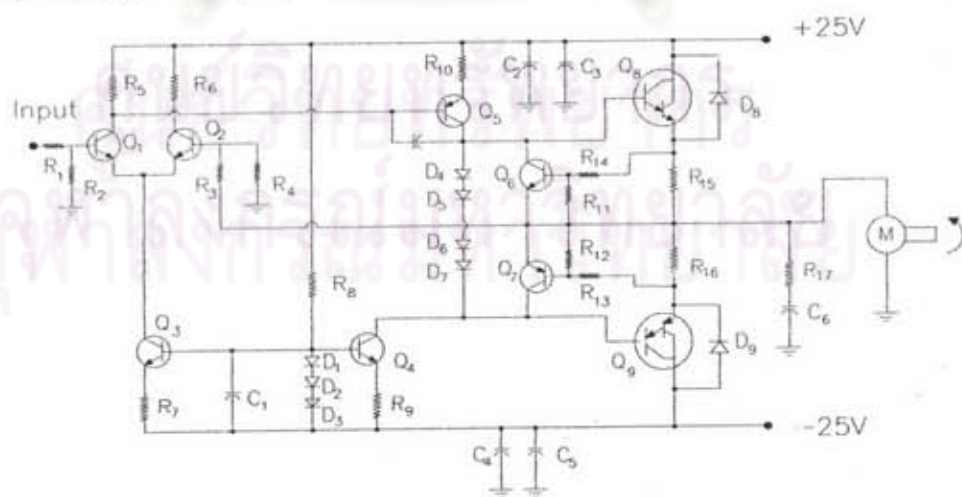


รูปที่ ช.2 วงจรขยายสัญญาณ

รายการอุปกรณ์

R_1	ความต้านทาน	6.2 k Ω
R_2	ความต้านทาน	51 k Ω
R_3	ความต้านทาน	1.21 k Ω
R_4	ความต้านทาน	120 k Ω
R_5	ความต้านทาน	110 k Ω
C_1	ตัวเก็บประจุ	0.8 μ F
OA_1, OA_2, OA_3	ออปีแอมป์ PMI; OP-37	

3. ชุดขยายกำลังสัญญาณควบคุม (Power amplifier) จำนวน 1 ชุด

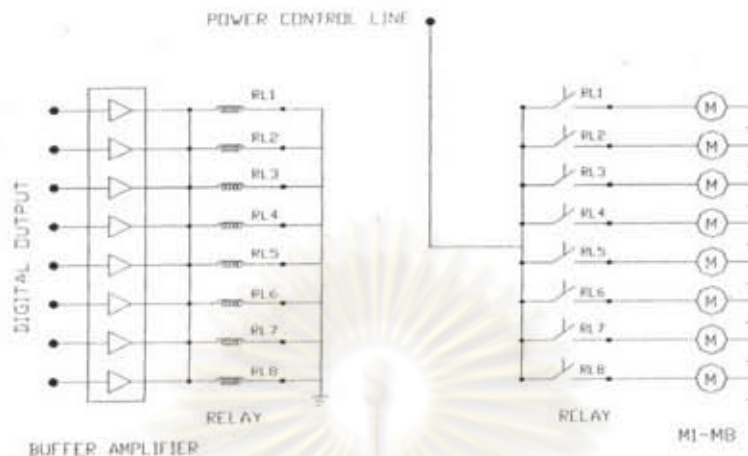


รูปที่ ช.3 วงจรเพาเวอร์แอมป์ลิไฟเออร์

รายการอุปกรณ์

R_1	ความต้านทาน 10 kΩ
R_2	ความต้านทาน 1 kΩ
R_3	ความต้านทาน 22 kΩ
R_4	ความต้านทาน 1 kΩ
R_5, R_6	ความต้านทาน 1.2 kΩ
R_7	ความต้านทาน 680 kΩ
R_8	ความต้านทาน 39 kΩ
R_9	ความต้านทาน 1.8 kΩ
R_{10}	ความต้านทาน 620 kΩ
$R_{11}, R_{12}, R_{13}, R_{14}$	ความต้านทาน 1 kΩ
R_{15}, R_{16}	ความต้านทาน 0.47 Ω, 2 วัตต์
R_{17}	ความต้านทาน 15 Ω
C_1	ตัวเก็บประจุ 100 μF, 25 V.
C_2, C_4	ตัวเก็บประจุ 0.1 μF
C_3, C_5	ตัวเก็บประจุ 100 μF, 35 V.
C_6	ตัวเก็บประจุ 0.05 μF
$D_1 - D_7$	ไอดี 1N4148
D_8, D_9	ไอดี 1N4004
Q_1, Q_2, Q_3, Q_4, Q_6	ทรานซิสเตอร์ 2N3700 NPN
Q_5, Q_7	ทรานซิสเตอร์ 2N5400 PNP
Q_8	คาร์ลิงคันทรานซิสเตอร์ TIP125 NPN
Q_9	คาร์ลิงคันทรานซิสเตอร์ TIP120 PNP

4. ชุดวงจรรีเลย์มัลติเพล็กซ์ (Relay multiplexer)



RELAY MULTIPLEXER
รูปที่ ช.4 วงจรรีเลย์มัลติเพล็กซ์อร์



รายการอุปกรณ์

RL₁ - RL₈

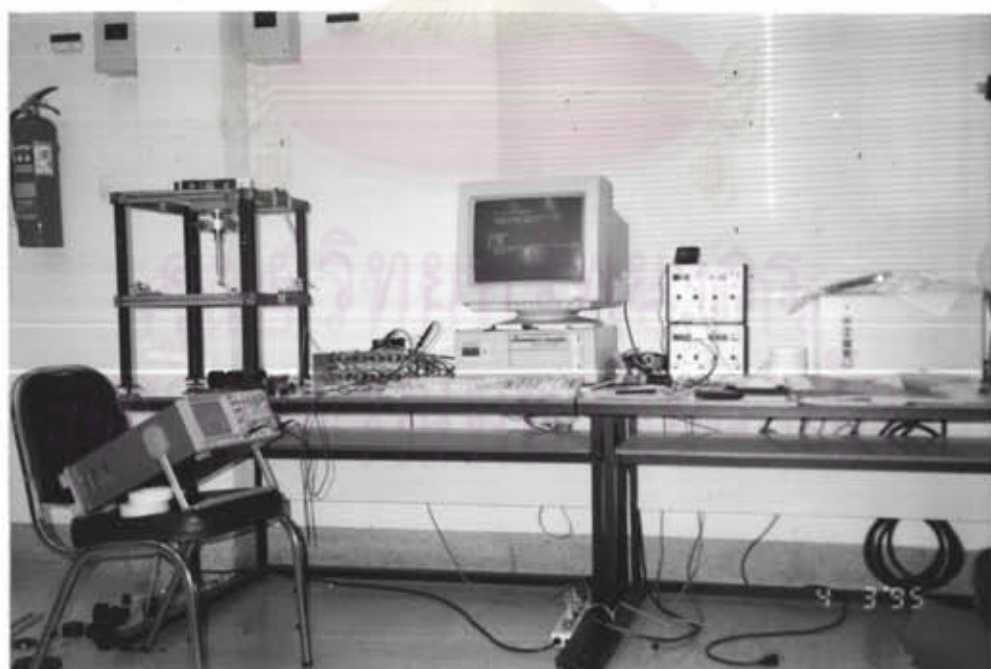
รีเลย์ 211 AD012-M ,12 V., 2 A.

Buffer amplifier

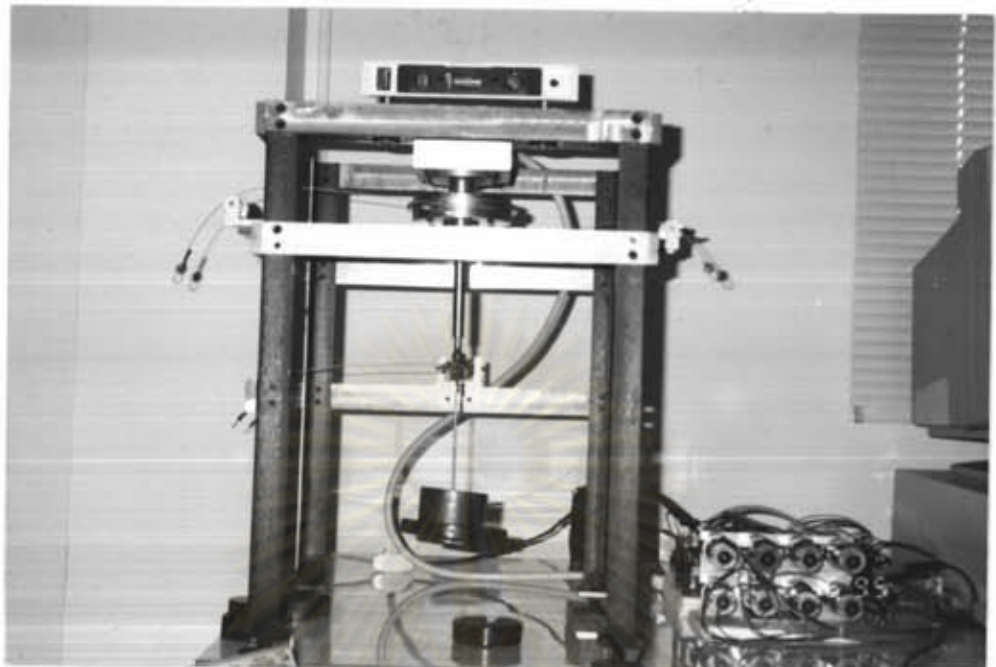
ไคเวอร์ขับรีเลย์ ULN 2003A

M₁ - M₈

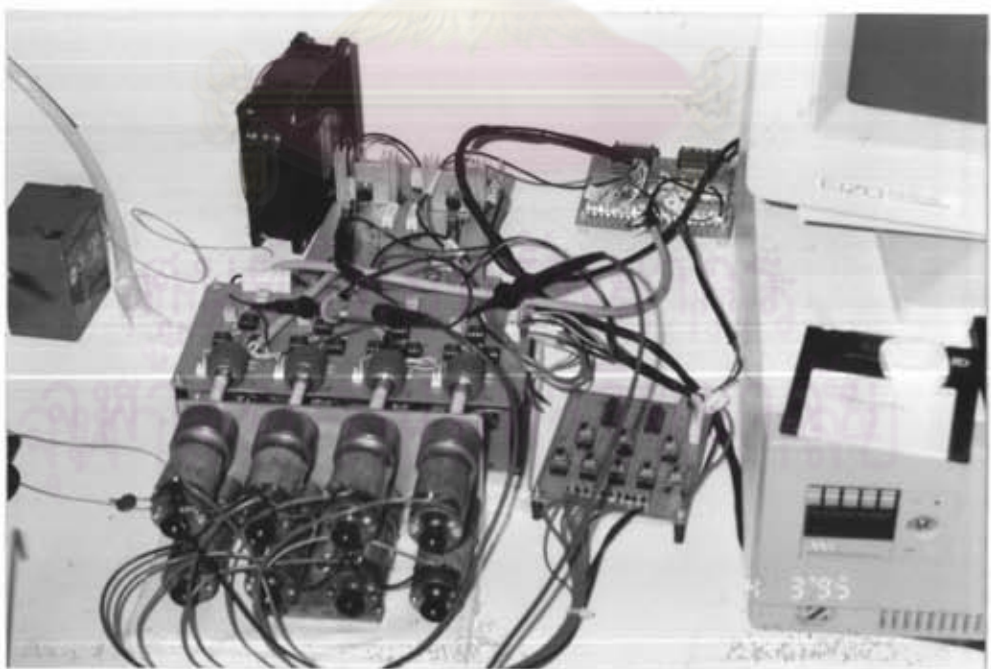
มอเตอร์ 24 VDC. Ratio 60.5:1 GME8713ES45



รูปที่ ช.5 ภาพแสดงอุปกรณ์ต่างๆในการวิจัย



รูปที่ ช.6 ภาพแสดงตัวปรับเทียบค่า



รูปที่ ช.7 ภาพแสดงชุดขยายสัญญาณ



OP-37

LOW-NOISE PRECISION HIGH-SPEED
OPERATIONAL AMPLIFIER ($A_{VCL} \geq 5$)

Precision Monolithics Inc.

FEATURES

- Low Noise 80nV p-p (0.1Hz to 10Hz) 3nV/ $\sqrt{\text{Hz}}$ at 1kHz
- Low Drift 0.2 $\mu\text{V}/^\circ\text{C}$
- High Speed 17V/ μs Slew Rate 63MHz Gain Bandwidth
- Low Input Offset Voltage 10 μV
- Excellent CMRR ... 126dB (Common-Mode Voltage of $\pm 11\text{V}$)
- High Open-Loop Gain 1.8 Million
- Replaces 725, OP-05, OP-06, OP-07, AD510, AD517, SE5534 In Gains >5

ORDERING INFORMATION

PACKAGE					
$T_A = 25^\circ\text{C}$	HERMETIC V_{OS} MAX (μV)	HERMETIC 8-PIN	PLASTIC 8-PIN	LCC	OPERATING TEMPERATURE RANGE
25	OP37AJ*	OP37AZ*			MIL
25	OP37EJ	OP37EZ	OP37EP		IND COM
60	OP37BJ*	OP37BZ*		OP37BRC/883	MIL
60	OP37FJ	OP37FZ	OP37FP		IND COM
100	OP37CJ*	OP37CZ*			MIL
100	OP37GJ	OP37GZ	OP37GP		IND COM

*For devices processed in total compliance to MIL-STD-883, add /883 after part number. Consult factory for 883 data sheet.

All commercial and industrial temperature range parts are available with burn-in. For ordering information see 1986 Data Book, Section 2.

GENERAL DESCRIPTION

The OP-37 provides the same high performance as the OP-27, but the design is optimized for circuits with gains greater than five. This design change increases slew rate to 17V/ μs and gain-bandwidth product to 63MHz.

The OP-37 provides the low offset and drift of the OP-07 plus higher speed and lower noise. Offsets down to 25 μV and drift of 0.6 $\mu\text{V}/^\circ\text{C}$ maximum make the OP-37 ideal for precision instrumentation applications. Exceptionally low noise

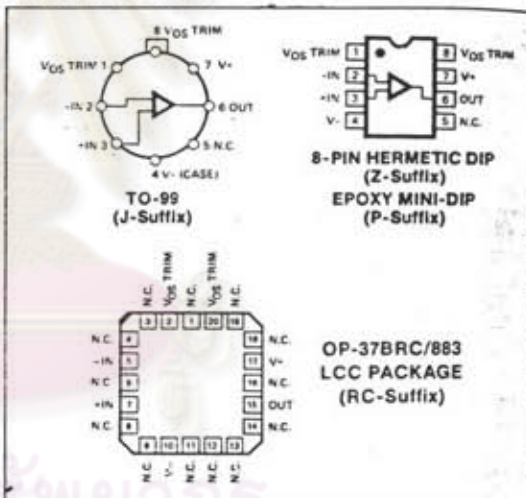
$e_n = 3.5\text{nV}/\sqrt{\text{Hz}}$ at 10Hz), a low 1/f noise corner frequency of 2.7Hz, and the high gain of 1.8 million, allow accurate high-gain amplification of low-level signals.

The low input bias current of $\pm 10\text{nA}$ and offset current of 7nA are achieved by using a bias-current-cancellation circuit. Over the military temperature range this typically holds I_B and I_O to $\pm 20\text{nA}$ and 15nA respectively.

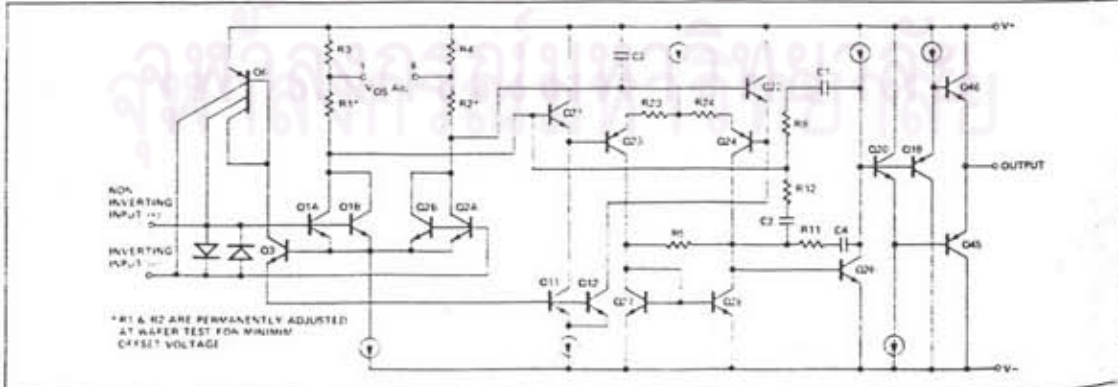
The output stage has good load driving capability. A guaranteed swing of $\pm 10\text{V}$ into 600Ω and low output distortion make the OP-37 an excellent choice for professional audio applications.

PSRR and CMRR exceed 120dB. These characteristics, coupled with long-term drift of 0.2 $\mu\text{V}/\text{month}$, allow the circuit

PIN CONNECTIONS



SIMPLIFIED SCHEMATIC





OP-37 LOW-NOISE PRECISION HIGH-SPEED OPERATIONAL AMPLIFIER

designer to achieve performance levels previously attained only by discrete designs.

Low-cost, high-volume production of the OP-37 is achieved by using on-chip zener-zap trimming. This reliable and stable offset trimming scheme has proved its effectiveness over many years of production history.

The OP-37 brings low-noise instrumentation-type performance to such diverse applications as microphone, tape-head, and RIAA phono preamplifiers, high-speed signal conditioning for data acquisition systems, and wide-bandwidth instrumentation.

ABSOLUTE MAXIMUM RATINGS (Note 4)

Supply Voltage	$\pm 22V$
Internal Power Dissipation (Note 1)	500mW
Input Voltage (Note 3)	$\pm 22V$
Output Short-Circuit Duration	Indefinite
Differential Input Voltage (Note 2)	$\pm 0.7V$
Differential Input Current (Note 2)	$\pm 25mA$
Storage Temperature Range	-65°C to +150°C

Operating Temperature Range

OP-37A, OP-37B, OP-37C (J, Z, RC)	-55°C to +125°C
OP-37E, OP-37F, OP-37G (J, Z)	-25°C to +85°C
OP-37E, OP-37F, OP-37G (P)	0°C to +70°C
Lead Temperature Range (Soldering, 60 sec)	300°C
DICE Junction Temperature	-65°C to +150°C

NOTES:

- See table for maximum ambient temperature rating and derating factor.
- The OP-37's inputs are protected by back-to-back diodes. Current limiting resistors are not used in order to achieve low noise. If differential input voltage exceeds $\pm 0.7V$, the input current should be limited to 25mA.
- For supply voltages less than $\pm 22V$, the absolute maximum input voltage is equal to the supply voltage.
- Absolute maximum ratings apply to both DICE and packaged parts, unless otherwise noted.

ELECTRICAL CHARACTERISTICS at $V_S = \pm 15V$, $T_A = 25^\circ C$, unless otherwise noted.

PARAMETER	SYMBOL	CONDITIONS	OP-37A/E			OP-37B/F			OP-37C/G			UNITS
			MIN	TYP	MAX	MIN	TYP	MAX	MIN	TYP	MAX	
Input Offset Voltage	V_{OS}	Note 1.	—	10	25	—	20	60	—	30	100	μV
Long-Term V_{OS} Stability	V_{OS}/Time	Notes 2, 3	—	0.2	1.0	—	0.3	1.5	—	0.4	2.0	$\mu V/\text{Mo}$
Input Offset Current	I_{OS}	—	—	7	35	—	9	50	—	12	75	nA
Input Bias Current	I_B	—	—	± 10	± 40	—	± 12	± 55	—	± 15	± 80	nA
Input Noise Voltage	e_{nV}	$f_C = 10\text{Hz}$ Note 3 $f_C = 30\text{Hz}$ Note 3 $f_C = 1000\text{Hz}$ Note 3	—	0.08	0.18	—	0.06	0.18	—	0.09	0.25	$\mu V/\sqrt{\text{Hz}}$
Input Noise Voltage Density	e_r	$f_C = 10\text{Hz}$ Note 3.6 $f_C = 30\text{Hz}$ Note 3.6 $f_C = 1000\text{Hz}$ Note 3.6	—	3.5	5.5	—	3.5	5.5	—	3.8	8.0	$\text{nV}/\sqrt{\text{Hz}}$
Input Noise Current Density	i_r	$f_C = 10\text{Hz}$ Notes 3.6 $f_C = 30\text{Hz}$ Notes 3.6 $f_C = 1000\text{Hz}$ Notes 3.6	—	1.7	4.0	—	1.7	4.0	—	1.7	—	$\text{pA}/\sqrt{\text{Hz}}$
Input Resistance — Differential-Mode	R_{IN}	Note 7.	1.3	6	—	0.94	5	—	0.7	4	—	MΩ
Input Resistance — Common-Mode	R_{INCM}	—	3	—	—	2.5	—	—	2	—	—	GΩ
Input Voltage Range	IVR	—	± 11.0	± 12.3	—	± 11.0	± 12.3	—	± 11.0	± 12.3	—	V
Common-Mode Rejection Ratio	CMRR	$V_{CM} = \pm 11V$	114	126	—	106	123	—	100	120	—	dB
Power Supply Rejection Ratio	PSSR	$V_S = \pm 4V$ to $\pm 18V$	—	1	10	—	1	10	—	2	20	$\mu V/V$
Large-Signal Voltage Gain	A_{VC}	$R_o \geq 2k\Omega$, $V_D = \pm 10V$ $R_o \geq 1k\Omega$, $V_D = \pm 10V$ $R_o = 600\Omega$, $V_D = \pm 1V$, $V_S = \pm 4V$, Note 4	1000	1800	—	1000	1800	—	700	1500	—	V/mV
Output Voltage Swing	V_C	$R_o \geq 2k\Omega$ $R_o \geq 600\Omega$	± 12.0	± 13.8	—	± 12.0	± 13.8	—	± 11.5	± 13.5	—	V
Slew Rate	SR	$R_o \geq 2k\Omega$, Note 4	11	17	—	11	17	—	11	17	—	$V/\mu s$
Gain Bandwidth Prod	GBW	$f_C = 10\text{Hz}$ Note 4 $f_C = 1\text{MHz}$	45	63	—	45	63	—	45	63	—	MHz

ประวัติผู้เขียน

นายพลสิทธิ์ นนทลี เกิดเมื่อวันที่ 25 เมษายน พ.ศ. 2510 ที่อำเภอเมือง จังหวัด พระนครศรีอยุธยา จบการศึกษาระดับปริญญาตรี วิศวกรรมศาสตร์บัณฑิต สาขาวิศวกรรมเครื่องกล จากจุฬาลงกรณ์มหาวิทยาลัย เมื่อปีการศึกษา 2532 และได้ทำงานกับ บริษัทกระเบื้องกระดาษไทย จำกัด ในตำแหน่งวิศวกรซ่อมบำรุงเครื่องกล ตั้งแต่ปี พ.ศ. 2532 ถึง พ.ศ. 2535 และได้เข้าศึกษาในระดับปริญญาโท สาขาวิศวกรรมศาสตร์ จุฬาลงกรณ์มหาวิทยาลัย เมื่อปีการศึกษา 2535



คุณชัยวิทย์ พยุงกิจ^{ชัยวิทย์ พยุงกิจ}
วิศวกรซ่อมบำรุงเครื่องกล